Capítulo 6

Integração Dupla

6.1 Integração Dupla sobre Retângulos

Denotemos por $R=[a,b]\times [c,d]=\{(x,y)\in \mathbb{R}^2/a\leq x\leq b,\ c\leq y\leq d\}$ um retângulo em \mathbb{R}^2 . Consideremos $P_1=\{x_0,\ x_1,....,x_n\}$ e $P_2=\{y_0,\ y_1,....,y_n\}$ partições de ordem n de [a,b] e [c,d] respectivamente, tais que:

$$a = x_0 < x_1 < \ldots < x_n = b$$
 e $c = y_0 < y_1 < \ldots < y_n = d$ e $x_{i+1} - x_i = \frac{b-a}{n}, y_{j+1} - y_j = \frac{d-c}{n}.$

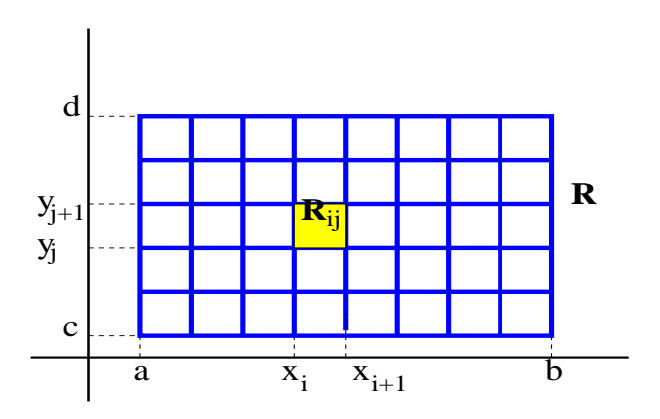


Figura 6.1: Partição de R.

O conjunto $P_1 \times P_2$ é denominada partição do retângulo R de ordem n. Sejam os n^2 subretângulos $R_{ij} = [x_i, x_{i+1}] \times [y_j, y_{j+1}]$ e $c_{ij} \in R_{ij}$ arbitrário (i, j = 0,, n). Considere $f: R \longrightarrow \mathbb{R}$ uma função limitada. A soma

$$S_n = \sum_{i=0}^{n-1} \sum_{j=0}^{n-1} f(c_{ij}) \, \Delta x \, \Delta y,$$

onde $\Delta x = \frac{b-a}{n}$ e $\Delta y = \frac{d-c}{n}$ é dita **soma de Riemann** de f sobre R.

Definição 6.1. Uma função $f: R \longrightarrow \mathbb{R}$ limitada é **integrável** sobre R se $\lim_{n \to +\infty} S_n$, existe independente da escolha de $c_{ij} \in R_{ij}$ e da partição; em tal caso denotamos este limite por:

$$\iint_{R} f(x,y) \, dx \, dy,$$

que é denominada integral dupla de f sobre R.

Teorema 6.1. *Toda* $f: R \longrightarrow \mathbb{R}$ *contínua é integrável.*

A prova deste teorema pode ser vista em [EL].

6.2 Significado Geométrico da Integral Dupla

Se f é contínua e $f(x,y) \ge 0$ para todo $(x,y) \in R$, a existência da integral dupla de f sobre R tem um significado geométrico direto. Consideramos o sólido $W \subset \mathbb{R}^3$ definido por:

$$W = \{(x, y, z) \in \mathbb{R}^3 \mid a \le x \le b, \quad c \le y \le d, \quad 0 \le z \le f(x, y)\}$$

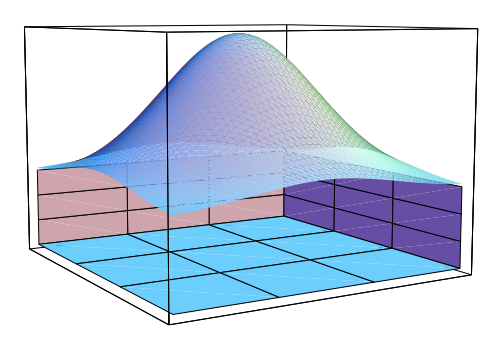


Figura 6.2: O sólido *W* .

W é fechado e limitado superiormente pelo gráfico de z=f(x,y), inferiormente por R e lateralmente pelos planos $x=a,\ x=b,\ y=c,\ y=d$. Se denotamos por V(W) o volume de W, então:

$$V(W) = \iint_{R} f(x, y) \, dx \, dy$$

De fato, escolhendo c_{ij} como o ponto onde f atinge seu máximo sobre R_{ij} (pois R é fechado, limitado e f é contínua), então $f(c_{ij}) \times \Delta x \times \Delta y$ é o volume do paralelepípedo de base R_{ij} e altura $f(c_{ij})$.

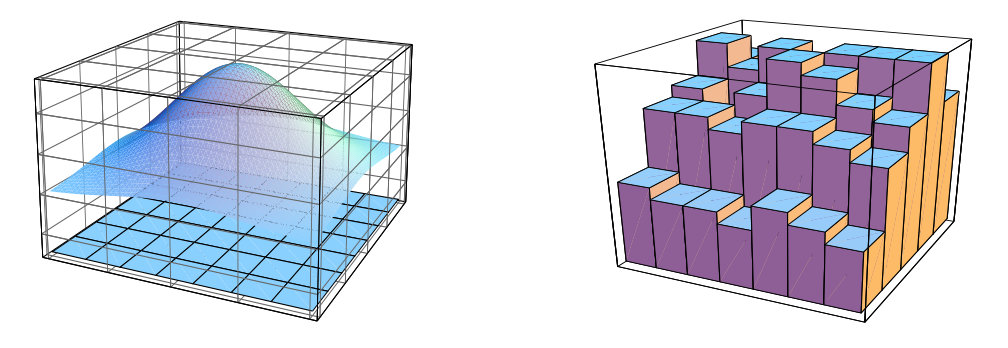


Figura 6.3: Partição e os paralelepípedos de *W*, respectivamente.

$$S_n = \sum_{i=0}^{n-1} \sum_{j=0}^{n-1} f(c_{ij}) \Delta x \Delta y$$

é o volume do sólido circunscrito a W. Analogamente se e_{ij} é o ponto onde f atinge seu mínimo sobre R_{ij} (pois R é fechado, limitado e f é contínua), então:

$$s_n = \sum_{i=0}^{n-1} \sum_{j=0}^{n-1} f(e_{ij}) \Delta x \, \Delta y$$

é o volume do sólido inscrito em W. Como f é integrável, os limites das somas de Riemann S_n e s_n independem da escolha de c_{ij} e e_{ij} :

$$\lim_{n \to \infty} S_n = \lim_{n \to \infty} s_n = \iint_R f(x, y) \, dx \, dy.$$

Em outras palavras os volumes dos sólidos inscritos e circunscritos a W, tendem ao mesmo limite. Portanto, é razoável chamar este limite de volume de W.

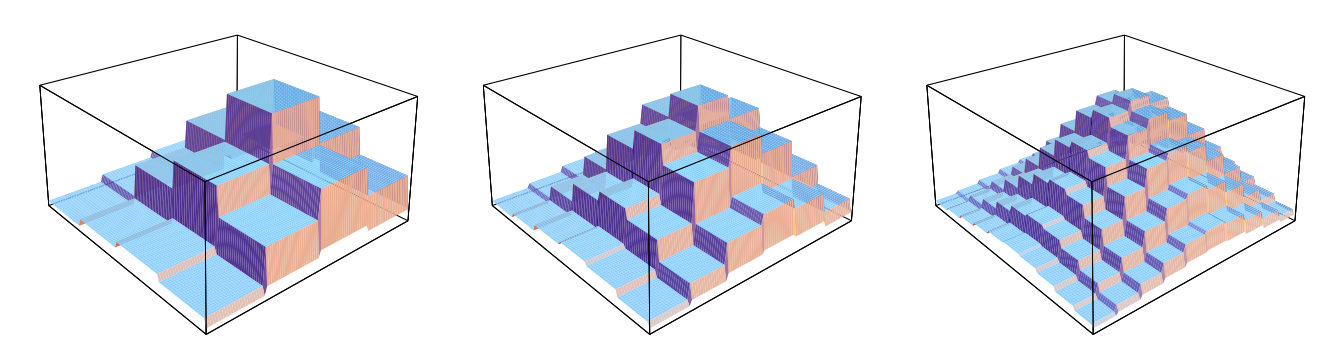


Figura 6.4: Reconstrução do sólido.

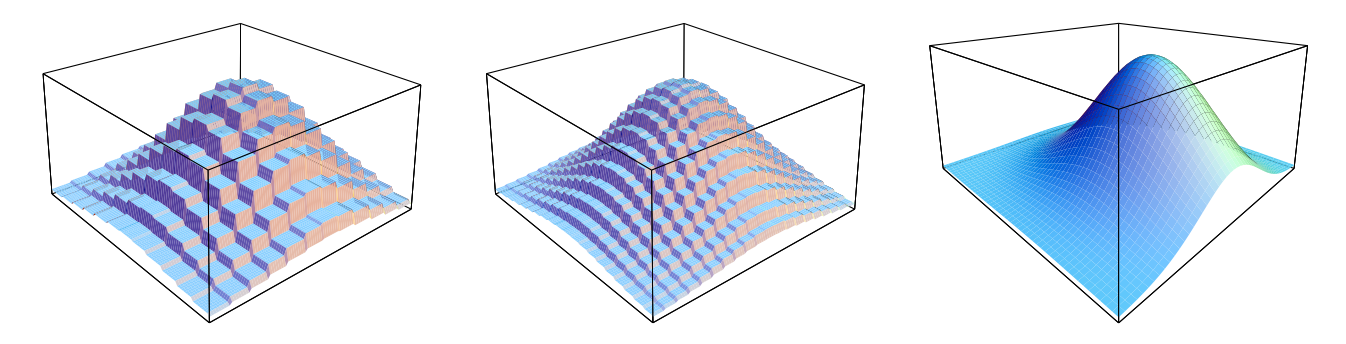


Figura 6.5: Reconstrução do sólido.

Novamente notamos que é possível mostrar rigorosamente que o significado geométrico da integral dupla independe da escolha da partição e dos pontos c_{ij} e e_{ij} .

A integral dupla tem propriedades análogas às das integrais das funções de uma variável.

Proposição 6.1.

1. **Linearidade da integral dupla.** Se f e g são funções integraveis sobre R então para todo α , $\beta \in \mathbb{R}$, $\alpha f + \beta g$ é integrável sobre R, e:

$$\iint_{R} (\alpha f(x,y) + \beta g(x,y)) dx dy = \alpha \iint_{R} f(x,y) dx dy + \beta \iint_{R} g(x,y) dx dy.$$

2. Se f e g são integráveis sobre R e $g(x,y) \leq f(x,y)$, para todo $(x,y) \in R$, então:

$$\iint_R g(x,y) \, dx \, dy \le \iint_R f(x,y) \, dx \, dy.$$

3. Se R é subdividido em k retângulos e f é integrável sobre cada R_i , i=1,...,k então f é integrável sobre R e,

$$\iint_{R} f(x,y) dx dy = \sum_{i=1}^{k} \iint_{R_{i}} f(x,y) dx dy.$$

6.3 Integrais Iteradas

Uma integral iterada de f sobre R é uma integral do tipo:

$$\int_{c}^{d} \left[\int_{a}^{b} f(x, y) \, dx \right] dy.$$

Para calculá-la fixamos y e calculamos a integral $\int_a^b f(x,y)\,dx$ como integral de uma veriável em x; o resultado é uma função de y que é novamente integrada em y, com limites de integração c e d.

A integral $\int_a^b \left[\int_c^d f(x,y) \, dy \right] dx$ é calculada de forma análoga.

Exemplo 6.1.

[1] Calcule
$$\int_0^2 \left[\int_1^3 x^2 y \, dy \right] dx.$$

$$\int_1^3 x^2 y \, dy = x^2 \int_1^3 y \, dy = 4x^2 \quad \text{ e } \quad \int_0^2 \left[\int_1^3 x^2 y \, dy \right] dx = \int_0^2 4x^2 \, dx = \frac{32}{3}.$$

[2] Calcule
$$\int_0^{\pi} \left[\int_0^{\pi} \cos(x+y) \, dx \right] dy.$$

$$\int_0^{\pi} \cos(x+y) \, dx = sen(x+y) \Big|_{x=0}^{x=\pi} = sen(y+\pi) - sen(y),$$

e

$$\int_0^\pi \left[\int_0^\pi \cos(x+y) \ dx \right] dy = \int_0^\pi (sen(y+\pi) - sen(y)) \ dy = -4.$$

[3] Calcule
$$\int_{-1}^{1} \left[\int_{-2}^{1} (x^2 + y^2) dx \right] dy$$
.

$$\int_{-2}^{1} (x^2 + y^2) \, dx = \left(\frac{x^3}{3} + x \, y^2\right) \Big|_{x=-2}^{x=1} = 3 + 3 \, y^2$$

$$e \int_{-1}^{1} \left[\int_{-2}^{1} (x^2 + y^2) \, dx \right] dy = \int_{-1}^{1} (3 + 3y^2) \, dy = 8.$$

[4] Calcule
$$\int_{\frac{\pi}{6}}^{\frac{\pi}{3}} \left[\int_{0}^{4} \rho^{2} e^{\rho^{3}} \operatorname{sen}(\phi) d\rho \right] d\phi.$$

$$\int_0^4 \rho^2 \, e^{\rho^3} \, sen(\phi) \, d\rho = sen(\phi) \int_0^4 \rho^2 \, e^{\rho^3} \, d\rho = sen(\phi) \left. \frac{e^{\rho^3}}{3} \right|_0^4 = sen(\phi) \left. \frac{e^{64} - 1}{3} \right|_0^4$$

$$e \int_{\frac{\pi}{6}}^{\frac{\pi}{3}} \left[\int_{0}^{4} \rho^{2} e^{\rho^{3}} sen(\phi) d\rho \right] d\phi = \frac{e^{64} - 1}{3} \int_{\frac{\pi}{6}}^{\frac{\pi}{3}} sen(\phi) d\phi = \frac{(e^{64} - 1) (\sqrt{3} - 1)}{6}.$$

[5] Calcule
$$\int_{0}^{1} \left[\int_{0}^{\sqrt{1-y^2}} \sqrt{1-y^2} \, dx \right] dy$$
.

$$\int_0^{\sqrt{1-y^2}} \sqrt{1-y^2} \, dx = 1 - y^2, \ \ \text{e} \ \int_0^1 \left[\int_0^{\sqrt{1-y^2}} \sqrt{1-y^2} \, dx \right] \, dy = \int_0^1 (1-y^2) \, dy = \frac{2}{3}.$$

[6] Seja a função $f:[0,1]\times[0,1]\longrightarrow\mathbb{R}$ definida por:

$$f(x,y) = \begin{cases} 1 & \text{se } x \in \mathbb{Q} \\ 2y & \text{se } x \notin \mathbb{Q} \end{cases}$$

Então:

$$\int_0^1 dy = \begin{cases} \int_0^1 dy = 1 & \text{se } x \in \mathbb{Q} \\ \int_0^1 2y \, dy = 1 & \text{se } x \notin \mathbb{Q}. \end{cases}$$

Logo, $\int_0^1 \left[\int_0^1 dy \right] dx = 1$. Por outro lado $\int_0^1 f(x,y) dx$ não existe, exceto quando $y = \frac{1}{2}$; logo,

$$\int_0^1 \left[\int_0^1 dx \right] dy$$

não existe. Em geral, nada garante a existência das integrais iteradas.

6.4 Teorema de Fubini

O seguinte teorema fundamental relaciona a integral dupla com as integrais iteradas, o que facilitará seu cálculo.

Teorema 6.2. (Fubini): Seja $f: R \longrightarrow \mathbb{R}$ contínua sobre R. Então:

$$\iint_{R} f(x,y) dx dy = \int_{c}^{d} \left[\int_{a}^{b} f(x,y) dx \right] dy = \int_{a}^{b} \left[\int_{c}^{d} f(x,y) dy \right] dx$$

Prova: Veja o apêndice.

Uma visualização geométrica do teorema de Fubini pode ser feita usando o princípio de Cavalieri: " Dado um sólido, se denotamos por A(y) a área da seção transversal ao sólido, medida a uma distância y de um plano de referência, o volume do sólido é dado por: $V=\int_c^d A(y)\,dy$, onde c0 a são as distâncias mínima e máxima ao plano de referência".

Se f é uma função contínua e $f(x,y) \ge 0$ em todo R, então $\iint_R f(x,y) \, dx \, dy$ representa o volume do sólido W:

$$W = \{(x, y, z) \in \mathbb{R}^3 / a \le x \le b, c \le y \le d, 0 \le z \le f(x, y)\}.$$

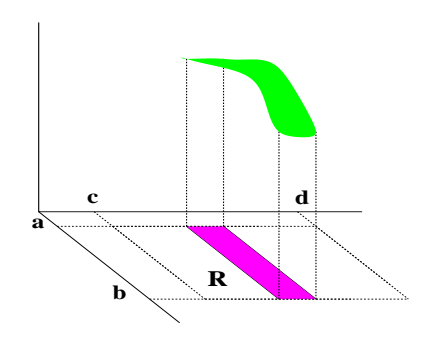


Figura 6.6:

Se intersectamos o sólido por um plano paralelo ao plano yz a uma distância x da origem, obtemos uma seção plana que tem como área $A(x) = \int_c^d f(x,y) \, dy$. Pelo princípio de Cavalieri, o volume total do sólido é:

$$\iint_R f(x,y) \, dx \, dy = \int_a^b A(x) \, dx = \int_a^b \left[\int_c^d f(x,y) \, dy \right] dx.$$

Analogamente, se intersectamos o sólido por um plano paralelo ao plano xz a uma distância y da origem obtemos uma seção plana de área $A(y) = \int_a^b f(x,y) \, dx$ e pelo princípio de Cavalieri:

$$\iint_R f(x,y) \, dx \, dy = \int_c^d A(y) \, dy = \int_c^d \left[\int_a^b f(x,y) \, dx \right] dy.$$

Exemplo 6.2.

[1] Calcule $\iint_R dx \, dy$, onde $R = [a, b] \times [c, d]$.

$$\iint_{B} dx \, dy = \int_{a}^{b} \left[\int_{c}^{d} dy \right] dx = \int_{a}^{b} (d-c) \, dx = (b-a) \, (d-c);$$

numericamente a integral dupla $\iint_R dx \, dy$, corresponde a área de R ou ao volume do paralelepípedo de base R e altura 1.

[2] Calcule $\iint_R f(x,y) dx dy$, onde $R = [a,b] \times [c,d]$ e f(x,y) = h, h constante positiva.

$$\iint_{R} f(x,y) \, dx \, dy = h \iint_{R} dx \, dy = h \times A(R) = h \, (b-a) \, (d-c),$$

onde a última igualdade expressa o volume do paralelepípedo de base R e altura h.

[3] Calcule
$$\iint_R (x y + x^2) dx dy$$
, onde $R = [0, 1] \times [0, 1]$.

$$\iint_{R} (x y + x^{2}) dx dy = \int_{0}^{1} \left[\int_{0}^{1} (x y + x^{2}) dx \right] dy = \int_{0}^{1} \left(\frac{x^{2} y}{2} + \frac{x^{3}}{3} \right) \Big|_{x=0}^{x=1} dy$$
$$= \int_{0}^{1} \left(\frac{y}{2} + \frac{1}{3} \right) dy = \frac{7}{12}.$$

O número $\frac{7}{12}$ representa o volume do sólido limitado superiormente pelo gráfico da função $f(x,y)=x\,y+x^2$ e pelos planos coordenados. $((x,y)\in[0,1]\times[0,1])$.

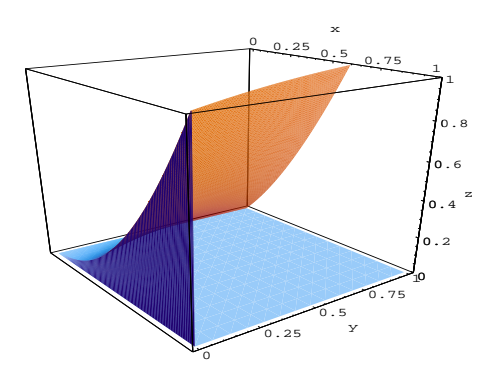


Figura 6.7: Exemplo [4].

[4] Calcule
$$\iint_R e^{x+2y} dx dy$$
, onde $R = [0,1] \times [0,3]$.

$$\iint_{R} e^{x+2y} \, dx \, dy = \int_{0}^{3} \left[\int_{0}^{1} e^{x+2y} \, dx \right] dy = (e-1) \int_{0}^{3} e^{2y} \, dy = \frac{1}{2} (e-1)(e^{6}-1).$$

[5] Calcule
$$\iint_R sen(x+y) dx dy$$
, onde $R = [0, \pi] \times [0, 2\pi]$.

$$\iint_{R} sen(x+y) \, dx \, dy = \int_{0}^{2\pi} \left[\int_{0}^{\pi} sen(x+y) \, dx \right] dy = \int_{0}^{2\pi} (cos(y) - cos(y+\pi)) \, dy = 0.$$

[6] Calcule o volume do sólido limitado superiormente por z=1-y e inferiormente pelo retângulo definido por $0\le x\le 1$ e $0\le y\le 1$.

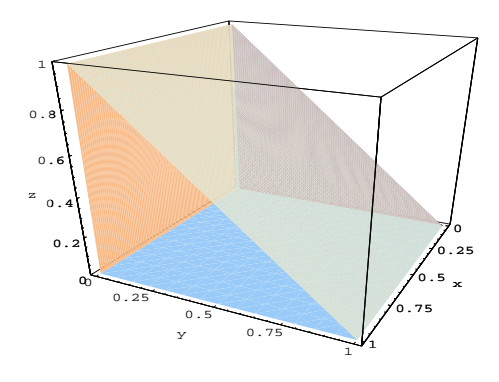


Figura 6.8: Sólido do exemplo [6].

O sólido está limitado superiormente pelo plano z=1-y e inferiormente pelo retângulo $R=[0,1]\times[0,1]$; então, o volume V é:

$$V = \iint_{R} (1-y) \, dx \, dy = \int_{0}^{1} \left[\int_{0}^{1} (1-y) \, dx \right] \, dy = \int_{0}^{1} (1-y) \, dy = \frac{1}{2} \, u.v.$$

[7] Calcule o volume do sólido limitado por $z=x^2+y^2$ e pelos planos x=0, x=3, y=0 e y=1.

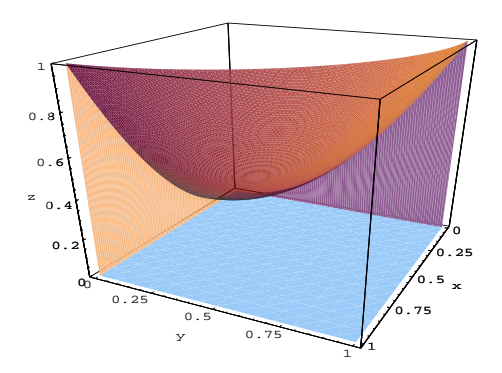


Figura 6.9: Sólido do exemplo [7].

 $R = [0, 3] \times [0, 1]$. O volume é:

$$V = \iint_R (x^2 + y^2) \, dx \, dy = \int_0^1 \left[\int_0^3 (x^2 + y^2) \, dx \right] dy = \int_0^1 (9 + 3y^2) \, dy = 10 \, u.v.$$

u.v. =unidades de volume.

[8] Calcule o volume do sólido limitado por $z=1-y^2$ e pelos planos x=-1, x=1, y=-1 e y=1.

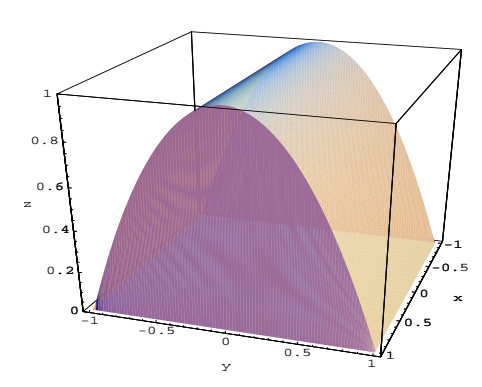


Figura 6.10: Sólido do exemplo [8].

 $R = [-1, 1] \times [-1, 1]$. O volume é:

$$V = \iint_R (1 - y^2) \, dx \, dy = \int_{-1}^1 \left[\int_{-1}^1 (1 - y^2) \, dx \right] \, dy = 2 \int_{-1}^1 (1 - y^2) \, dy = \frac{8}{3} u.v.$$

6.4.1 Extensão do Teorema de Fubini

Antes de estudar a integral dupla em regiões mais gerais enunciaremos uma genereralização do teorema 6.1.

Definição 6.2. Seja $A \subset R$, $R = [a, b] \times [c, d]$. O conjunto $A \subset R$ tem conteúdo nulo se existe um número finito de sub-retângulos $R_i \subset R$, $(1 \le i \le n)$ tais que $A \subset R_1 \cup R_2 \cup \ldots \cup R_{n-1} \cup R_n$ e:

$$\lim_{n \to +\infty} \sum_{i=1}^{n} |R_i| = 0;$$

onde $|R_i|$ é a área de R_i .

Exemplo 6.3.

[1] Se $A=\{p_1,p_2,.....,p_m\}$, $p_i\in R$, $(1\leq i\leq m)$. O conjunto A tem conteúdo nulo. Utilizando uma partição de ordem n de R como antes, temos: $|R_i|=\frac{(b-a)\,(d-c)}{n^2}$, $1\leq i\leq n$. Como cada ponto pode estar no máximo em quatro sub-retângulos, então:

$$0 < \sum_{i=1}^{n} |R_i| \le \frac{4 m (b-a) (d-c)}{n^2}.$$

Logo
$$\lim_{n\to+\infty}\sum_{i=1}^n|R_i|=0.$$

[2] ∂R tem conteúdo nulo.

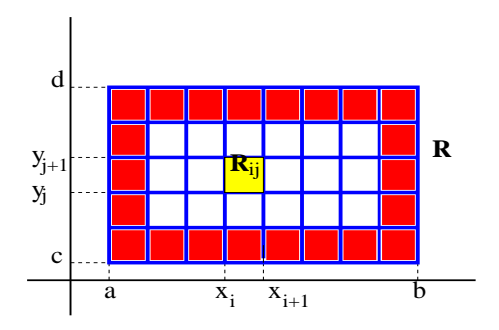


Figura 6.11: ∂R .

Os pontos de ∂R estão distribuido em 4 n - 4 sub-retângulos R_{ij} :

$$0 < \sum_{i=1}^{n} |R_i| \le \frac{(4n-4)(b-a)(d-c)}{n^2} \le \frac{4(b-a)(d-c)}{n},$$

pois $\frac{n-1}{n}$ < 1. Logo:

$$\lim_{n \to +\infty} \sum_{i=1}^{n} |R_i| = 0.$$

É possível provar que o gráfico de uma função contínua $f:[a,b] \longrightarrow \mathbb{R}$ tem conteúdo nulo.

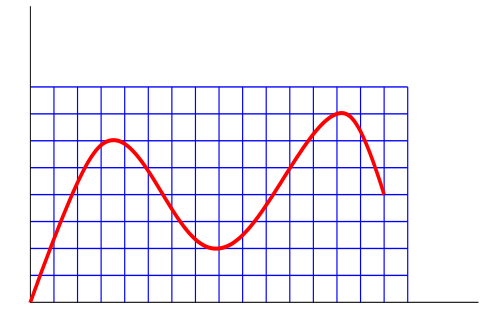


Figura 6.12: G(f).

Teorema 6.3. Se $f: R \longrightarrow \mathbb{R}$ é uma função limitada e o conjunto onde f é descontínua tem conteúdo nulo, então f é integravel sobre R.

Prova: Veja [EL] na bibliografia.

6.5 Integração Dupla sobre Regiões mais Gerais

6.5.1 Regiões Elementares

Definiremos três tipos especiais de subconjuntos do plano, que serão utilizados para estender o conceito de integral dupla sobre retângulos a regiões mais gerais Seja $D \subset \mathbb{R}^2$.

Regiões de tipo I

D é uma região de tipo I se pode ser descrita por:

$$D = \{(x, y) \in \mathbb{R}^2 / a \le x \le b, \ \phi_1(x) \le y \le \phi_2(x)\}\$$

sendo $\phi_i : [a, b] \longrightarrow \mathbb{R}$ (i = 1, 2) funções contínuas tais que $\phi_1(x) \le \phi_2(x)$ para todo $x \in [a, b]$.

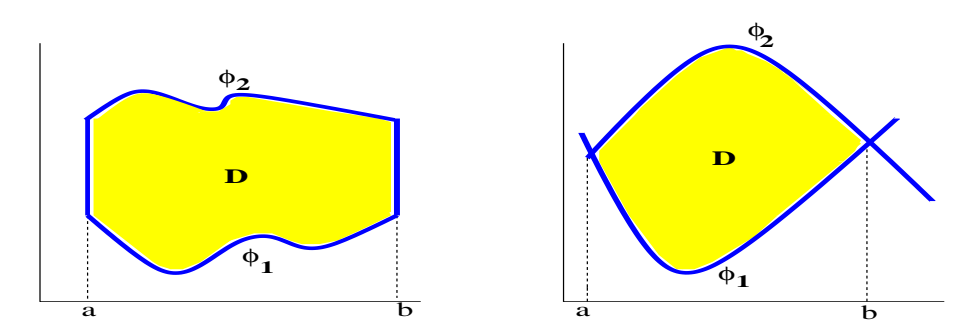


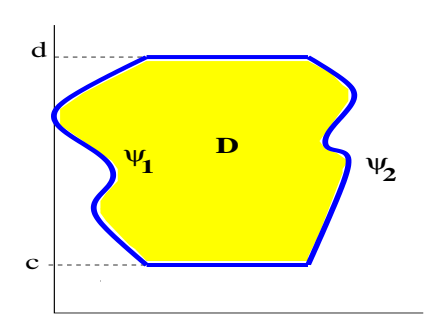
Figura 6.13: Regiões de tipo I.

Regiões de tipo II

D é uma região de tipo II se pode ser descrita por:

$$D = \{(x, y) \in \mathbb{R}^2 / c \le y \le d, \, \psi_1(y) \le x \le \psi_2(y)\}$$

sendo $\psi_i:[c,d]\longrightarrow \mathbb{R}$ (i=1,2) funções contínuas tais que $\psi_1(y)\leq \psi_2(y)$ para todo $y\in [c,d]$.



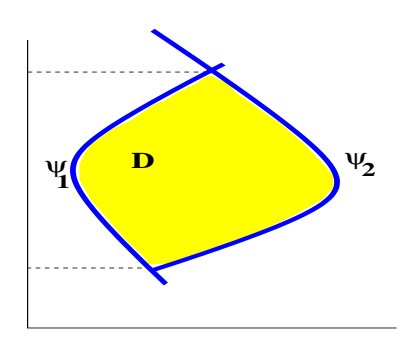


Figura 6.14: Regiões de tipo II.

Regiões de tipo III

D é uma região de tipo III se pode ser descrita como região de tipo I ou de tipo II. As regiões de tipos I, II ou III são chamadas elementares. As regiões elementares são fechadas e limitadas.

Exemplo 6.4.

[1] A região limitada pelas curvas $y=x^2$ e $y=4\,x-x^2$ pode ser descrita como de tipo I: A interseção das curvas é dada pela solução do sistema:

$$\begin{cases} y = x^2 \\ y = 4x - x^2, \end{cases}$$

do qual obtemos: x = 0 e x = 2; logo, $D = \{(x, y) \in \mathbb{R}^2 \ / \ 0 \le x \le 2, \ x^2 \le y \le 4x - x^2\}.$

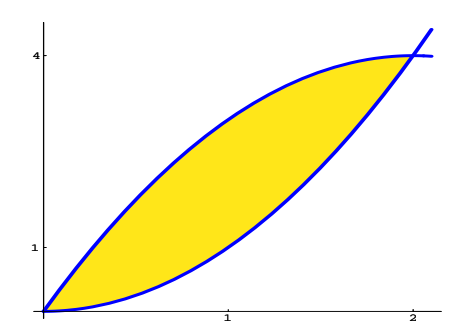


Figura 6.15: Região de tipo I.

[2] Seja a região D limitada pelas seguintes curvas: $y^2-x=1$ e $y^2+x=1$. A região pode ser descrita por $D=\{(x,y)\in\mathbb{R}^2\ /\ -1\le y\le 1,\ y^2-1\le x\le 1-y^2\}$; D é uma região de tipo II.

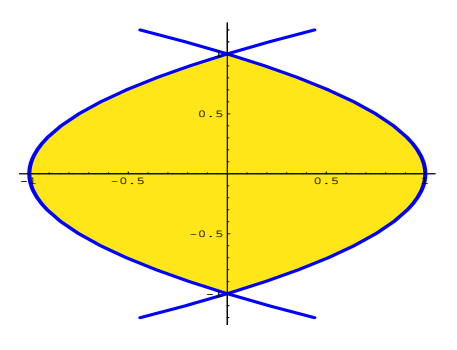


Figura 6.16: Região de tipo II.

[3] A região D limitada pela reta x+y=2 e pelos eixos coordenados, no primeiro quadrante, pode ser descrita como de tipo II: $D=\{(x,y)\in\mathbb{R}^2/0\leq y\leq 2,\ 0\leq x\leq 2-y\}.$

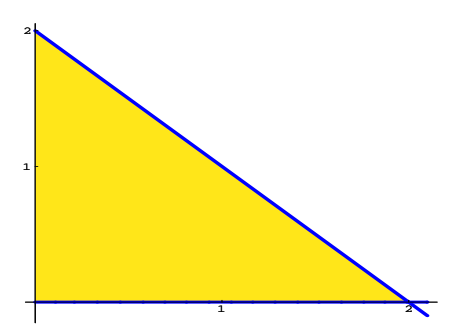


Figura 6.17: Região de tipo III.

[4] A região D limitada pelas curvas y=x-1 e $y^2=2\,x+6$, pode ser descrita como de tipo II. A interseção das curvas é dada pela solução do sistema:

$$\begin{cases} y = x - 1 \\ y^2 = 2x + 6, \end{cases}$$

do qual obtemos: x = -1 e x = 5; logo: $D = \{(x, y) \in \mathbb{R}^2 / -2 \le y \le 4, \frac{y^2}{2} - 3 \le x \le y + 1\}$.

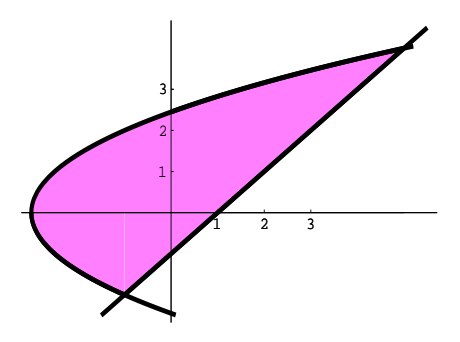


Figura 6.18: Região de tipo II.

[5] Seja D a região limitada pela curva $x^2+y^2=1$; esta região é do tipo III. De fato:

De tipo I:
$$D = \{(x,y) \in \mathbb{R}^2 / -1 \le x \le 1, \ \phi_1(x) = -\sqrt{1-x^2} \le y \le \phi_2(x) = \sqrt{1-x^2} \}$$
. De tipo II: $D = \{(x,y) \in \mathbb{R}^2 / -1 \le y \le 1, \ \psi_1(y) = -\sqrt{1-y^2} \le x \le \psi_2(y) = \sqrt{1-y^2} \}$.

6.6 Extensão da Integral Dupla

Seja D uma região elementar tal que $D \subset R$, onde R é um retãngulo e $f: D \longrightarrow \mathbb{R}$ uma função contínua (logo limitada). Definamos $f^*: R \longrightarrow \mathbb{R}$ por:

$$f^*(x,y) = \begin{cases} f(x,y) & \text{se } (x,y) \in D \\ 0 & \text{se } (x,y) \in R - D. \end{cases}$$

 f^* é limitada e contínua, exceto, possivelmente, em ∂D ; mas se ∂D consiste de uma união finita de curvas que são gráficos de funções contínuas, pelo teorema 6.1, f^* é integrável sobre R.

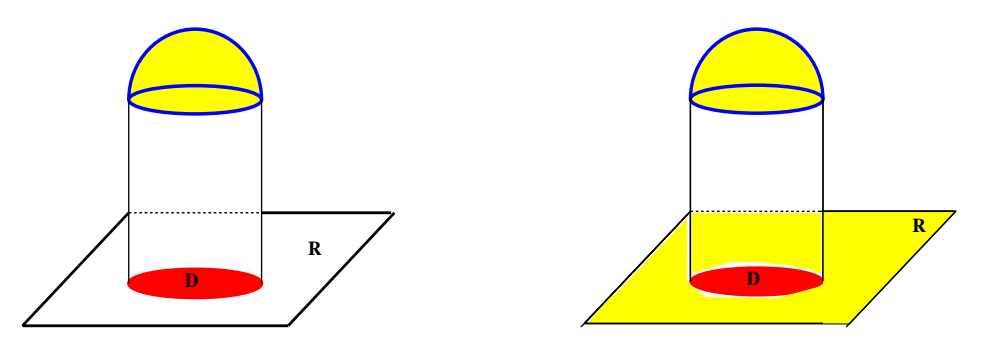


Figura 6.19: Gráficos de f e f*, respectivamente.

Definição 6.3. $f: D \longrightarrow \mathbb{R}$ é integrável sobre D se f^* é integrável sobre R e em tal caso definimos:

$$\iint_{D} f(x,y) dx dy = \iint_{R} f^{*}(x,y) dx dy.$$

Se R_1 é outro retângulo tal que $D \subset R_1$ e $f_1^*: R_1 \longrightarrow \mathbb{R}$ é definida como antes, então:

$$\iint_{R} f^{*}(x, y) dx dy = \iint_{R_{1}} f_{1}^{*}(x, y) dx dy,$$

pois $f^* = f_1^* = 0$ onde R e R_1 diferem.

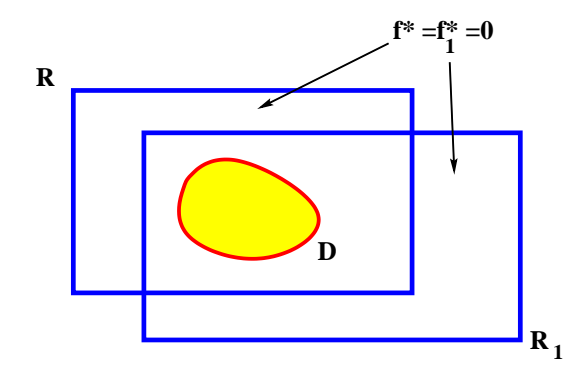


Figura 6.20:

Logo, $\iint_D f(x, y) dx dy$ não depende da escolha do retângulo.

6.7 Integral Dupla e Volume de Sólidos

Proposição 6.2. Se $f:D\longrightarrow \mathbb{R}$ é uma função contínua e limitada sobre D, então:

1. Se D é uma região de tipo I:

$$\left| \iint_D f(x,y) \, dx \, dy = \int_a^b \left[\int_{\phi_1(x)}^{\phi_2(x)} f(x,y) \, dy \right] dx \right|$$

2. Se D é uma região de tipo II:

$$\left[\iint_D f(x,y) \, dx \, dy = \int_c^d \left[\int_{\psi_1(y)}^{\psi_2(y)} f(x,y) \, dx \right] dy \right]$$

Para a prova, veja o apêndice.

Corolário 6.4. Se f(x, y) = 1 em todo D, então:

$$\iint_{D} dx \, dy = \text{Área}(D)$$

De fato, se D é de tipo I, temos $\iint_D dx \, dy = \int_a^b \left[\phi_2(x) - \phi_1(x)\right] \, dx = A(D).$

Se $f(x,y) \ge 0$ e é contínua em D, podemos novamente interpretar a integral dupla de f sobre D como o volume do sólido W limitado superiormente pelo gráfico de f e inferiormente por D.

$$W = \{(x, y, z) \in \mathbb{R}^3 / (x, y) \in D, \ 0 \le z \le f(x, y)\}$$

D é a projeção de W sobre o plano xy e:

$$V(W) = \iint_{D} f(x, y) \, dx \, dy$$

6.7.1 Exemplos

[1] Calcule $\int_0^1 \left[\int_y^1 e^{x^2} dx \right] dy$. A integral não pode ser calculada na ordem dada. Observe que:

$$\iint_{D} e^{x^{2}} dx dy = \int_{0}^{1} \left[\int_{y}^{1} e^{x^{2}} dx \right] dy.$$

A região D, onde está definida a integral, é de tipo II: $0 \le y \le 1$ e $y \le x \le 1$.

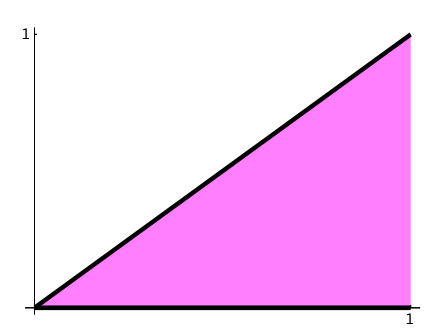


Figura 6.21: A região D.

A região D é de tipo III; logo, D também é de tipo I. De fato: $0 \le x \le 1$ e $0 \le y \le x$ e:

$$\iint_D e^{x^2} dx dy = \int_0^1 \left[\int_0^x e^{x^2} dy \right] dx = \int_0^1 x e^{x^2} dx = \frac{1}{2} (e - 1).$$

[2] Calcule
$$\int_0^1 \left[\int_x^1 \frac{sen(y)}{y} \, dy \right] dx$$
.

A região D, onde está definida a integral é de tipo I: $0 \le x \le 1$ e $x \le y \le 1$. Por outro lado, D é de tipo III, logo D também é de tipo II: $0 \le y \le 1$ e $0 \le x \le y$:

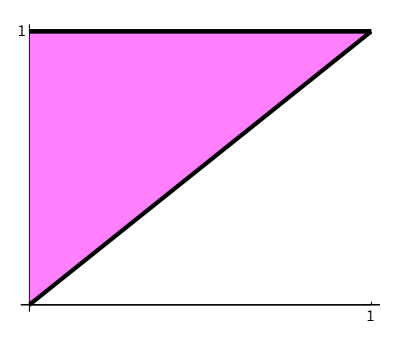


Figura 6.22: A região *D*.

$$\int_0^1 \left[\int_x^1 \frac{sen(y)}{y} \, dy \right] dx = \int_0^1 \left[\int_0^y \frac{sen(y)}{y} \, dx \right] dy = \int_0^1 sen(y) \, dy = 1 - cos(1).$$

[3] Calcule $\iint_D \sqrt{1-y^2} \, dx \, dy$, onde D é a região limitada por $x^2+y^2=1$ no primeiro quadrante.

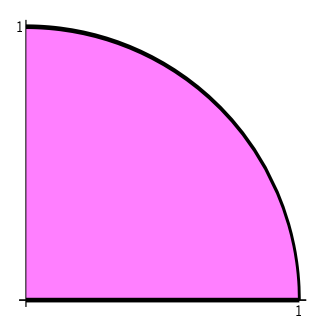


Figura 6.23: A região D.

Consideramos D como região de tipo II. $D=\{(x,y)\in\mathbb{R}/0\leq y\leq 1,\,0\leq x\leq\sqrt{1-y^2}\}$. Pela proposição:

$$\iint_D \sqrt{1-y^2} \, dx \, dy = \int_0^1 \left[\int_0^{\sqrt{1-y^2}} \sqrt{1-y^2} \, dx \right] \, dy = \int_0^1 (1-y^2) \, dy = \frac{2}{3}.$$

Note que se escrevemos D como região de tipo I, a integração é muito mais complicada.

[4] Calcule $\iint_D (x+y)^2 dx dy$, se D é a região limitada por y=x, 2y=x+2 e o eixo dos y.

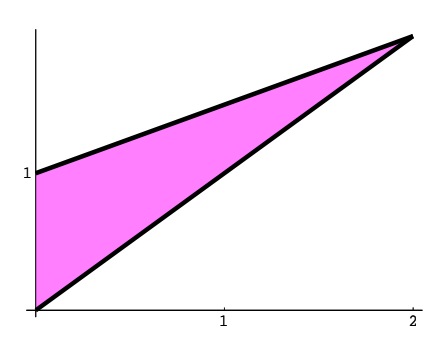


Figura 6.24: A região D.

As retas se intersectam no ponto (2,2). Escrevendo D como região de tipo I: $0 \le x \le 2$, $x \le y \le \frac{x}{2} + 1$.

$$\iint_D (x+y)^2 \, dx \, dy = \int_0^2 \left[\int_x^{\frac{x}{2}+1} (x+y)^2 \, dy \right] dx = \frac{1}{3} \int_0^2 \left(\left(\frac{3x}{2} + 1 \right)^3 - 8x^3 \right) dx = \frac{21}{6}.$$

[5] Determine o volume do sólido limitado por y - x + z = 1 e pelos planos coordenados. Para ter uma visão geométrica do problema, fazemos o desenho do sólido, que é limitado superiormente pelo plano que passa pelos pontos (0,0,1), (0,1,0), (-1,0,0) e inferiormente pelo plano z = 0.

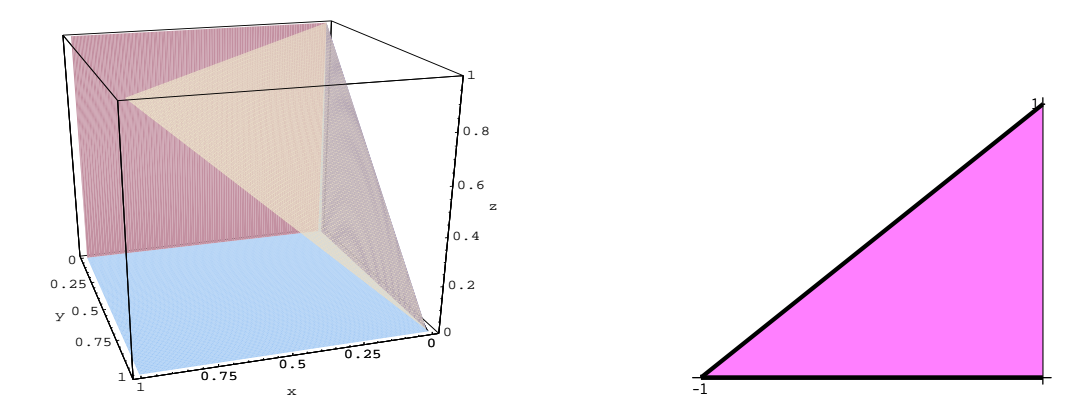


Figura 6.25: O sólido e a região, respectivamente.

A integral dupla representa o volume do sólido limitado superiormente pelo gráfico da função z=f(x,y)=1+x-y e, inferiormente pela região D projeção de W no plano xy.

$$W = \{(x, y, z) \in \mathbb{R}^3 / (x, y) \in D, \quad 0 \le z \le 1 + x - y\},$$

onde $D=\{(x,y)\in\mathbb{R}^2/\ -1\leq x\leq 0,\quad 0\leq y\leq x+1\}$ é região do tipo I. Seu volume é:

$$V(W) = \iint_D (1+x-y) \, dx \, dy = \int_{-1}^0 \left[\int_0^{x+1} (1+x-y) \, dy \right] dx = \frac{1}{2} \int_{-1}^0 (x+1)^2 dx = \frac{1}{6} u \cdot v.$$

[6] Determine o volume do sólido limitado por z = 2x + 1, $x = y^2$ e x - y = 2.

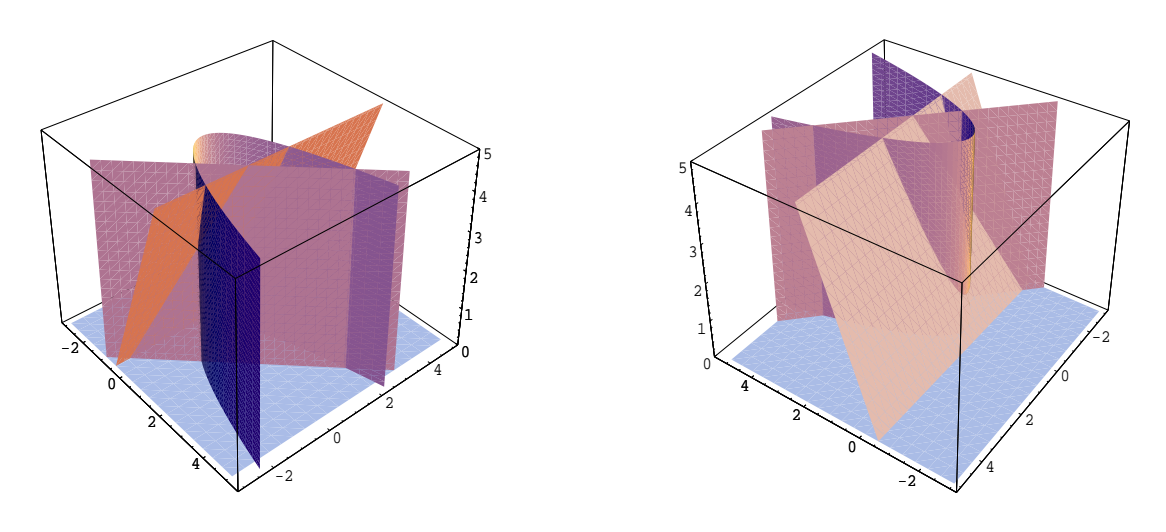


Figura 6.26: O sólido do exemplo [6].

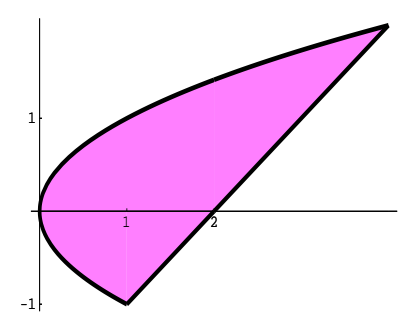


Figura 6.27: A região *D*.

Observe que z = f(x, y) = 2x + 1 e

$$V(W) = \iint_D (2x+1) dx dy,$$

onde D é a projeção do sólido no plano xy. Considerando D como região do tipo II, ela é definida por:

$$D = \{(x, y) \in \mathbb{R}^2 / -1 \le y \le 2, y^2 \le x \le y + 2\}.$$

O volume é:

$$V(W) = \iint_D (2x+1) \, dx \, dy = \int_{-1}^2 \left[\int_{y^2}^{y+2} (2\,x+1) \, dx \right] \, dy = \int_{-1}^2 (5\,y+6-y^4) \, dy = \frac{189}{10} u.v.$$

[7] Calcule o volume do sólido que está acima do plano xy e é limitado por $z=x^2+4\,y^2$ e $x^2+4\,y^2=4$.

O gráfico de $z=x^2+4\,y^2$ é um parabolóide elítico e o de $x^2+4\,y^2=4$ é um cilindro elítico.

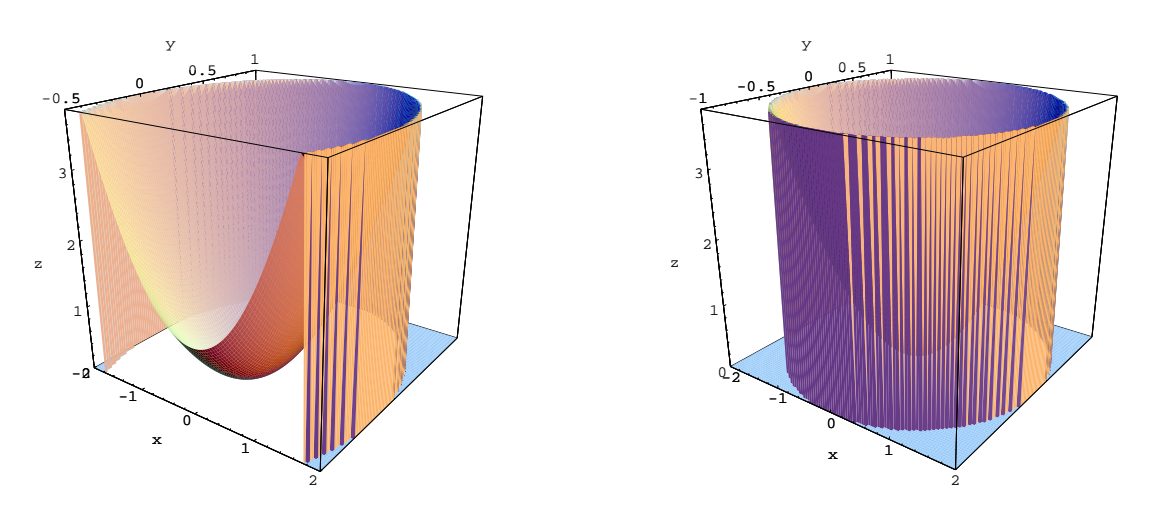


Figura 6.28: O sólido do exemplo [7].

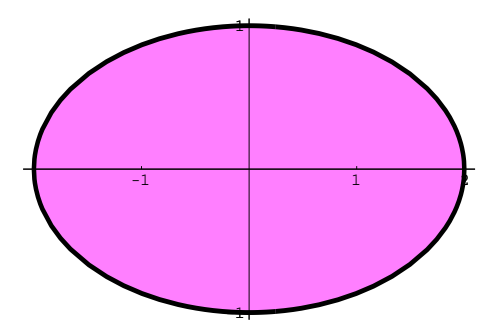


Figura 6.29: A região do exemplo [7].

Pela simetria do sólido, calculamos o volume no primeiro octante e multiplicamos o resultado por 4.

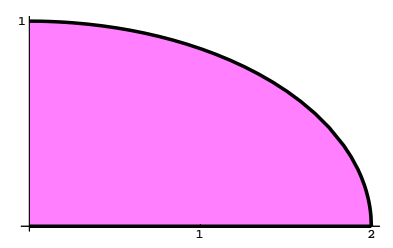


Figura 6.30: A região D.

D é a projeção do cilindro no plano xy. D é do tipo I: $0 \le x \le 2$ e $0 \le y \le \frac{\sqrt{4-x^2}}{2}$ e,

$$V = 4 \iiint_D (x^2 + 4y^2) \, dx \, dy = 4 \int_0^2 \left[\int_0^{\frac{\sqrt{4-x^2}}{2}} (x^2 + 4y^2) \, dy \right] dx$$
$$= 2 \int_0^2 \left(x^2 \sqrt{4 - x^2} + \frac{(4 - x^2)^{\frac{3}{2}}}{3} \right) dx = 4 \pi u.v.$$

[8] Calcule a área da região plana limitada pelas curvas $y=x^2$ e $y=4\,x-x^2$. Os pontos de interseção das curvas são: (0,0) e (2,4).

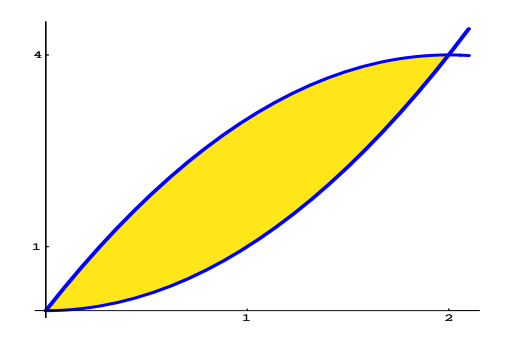


Figura 6.31: A região *D*.

Dé do tipo I: $0 \leq x \leq 2$ e $x^2 \leq y \leq 4x - x^2.$

$$A = \iint_D dx \, dy = \int_0^2 \left[\int_{x^2}^{4x - x^2} dy \right] dx = 2 \int_0^2 (2x - x^2) \, dx = \frac{8}{3} u.a.$$

[9] Calcule o volume do sólido obtido pela interseção dos cilindros: $x^2 + y^2 = a^2$ e $x^2 + z^2 = a^2$, $a \neq 0$.

O sólido é simétrico em relação à origem.

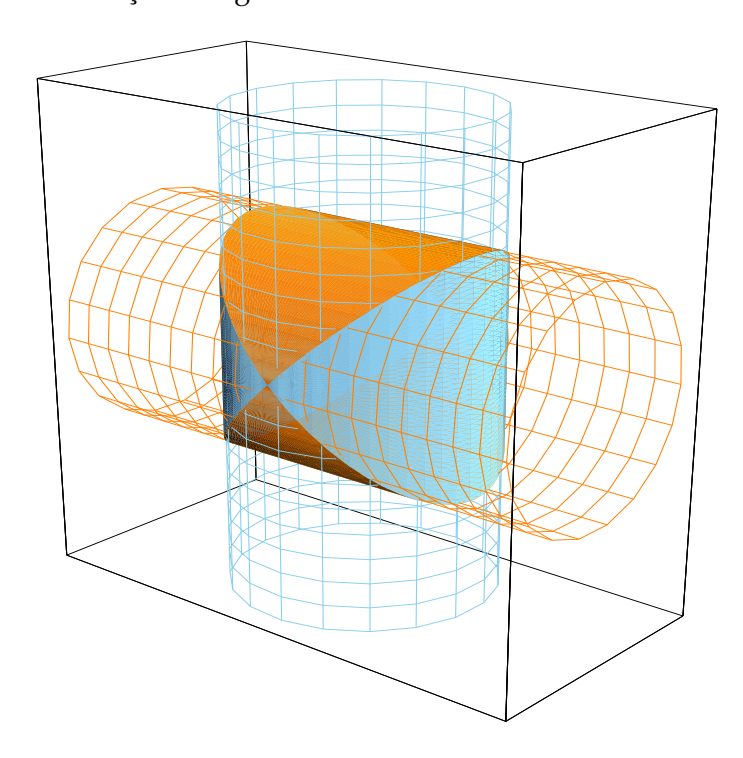


Figura 6.32: Interseção dos cilindros.

Calculamos o volume da porção do sólido no primeiro octante e multiplicamos o resultado por 8.

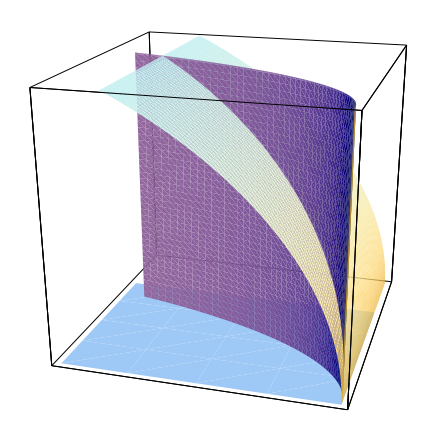


Figura 6.33: O sólido no primeiro octante.

Claramente D é região do tipo I: $0 \le x \le a$ e $0 \le y \le \sqrt{a^2-x^2}$. A altura do sólido W é dada por $z=f(x,y)=\sqrt{a^2-x^2}$ e:

$$V = 8 \iint_{D} \sqrt{a^2 - x^2} \, dx \, dy$$
$$= 8 \int_{0}^{a} \left[\int_{0}^{\sqrt{a^2 - x^2}} \sqrt{a^2 - x^2} \, dy \right] dx$$
$$= 8 \int_{0}^{a} (a^2 - x^2) \, dx = \frac{16 \, a^3}{3}.$$

[10] Calcule o volume do sólido limitado por 3x + 4y = 10, $z = x^2 + y^2$ e situado acima do plano xy, no primeiro octante.

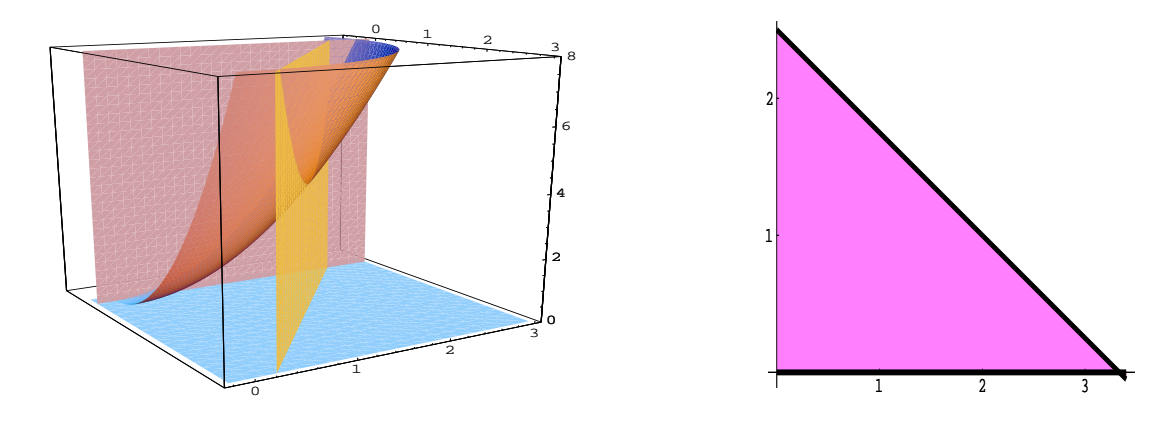


Figura 6.34: Sólido e região do exemplo [10], respectivamente.

Dé uma região do tipo II: $0 \leq y \leq \frac{5}{2}$ e $0 \leq x \leq \frac{10-4y}{3}$; logo:

$$V = \iint_D (x^2 + y^2) \, dx \, dy = \int_0^{\frac{5}{2}} \left[\int_0^{\frac{10-4y}{3}} (x^2 + y^2) \, dx \right] dy$$
$$= -\frac{2}{81} \int_0^{\frac{5}{2}} (2y - 5) (43y^2 - 80y + 100) \, dy$$
$$= -\frac{2}{81} \int_0^{\frac{5}{2}} (86y^3 - 375y^2 + 600y - 500) \, dy = \frac{15625}{1296} u.v.$$

[11] Calcule o volume do sólido limitado por z-x y=0, z=0, $y=x^2$ e $y^2-x=0$.

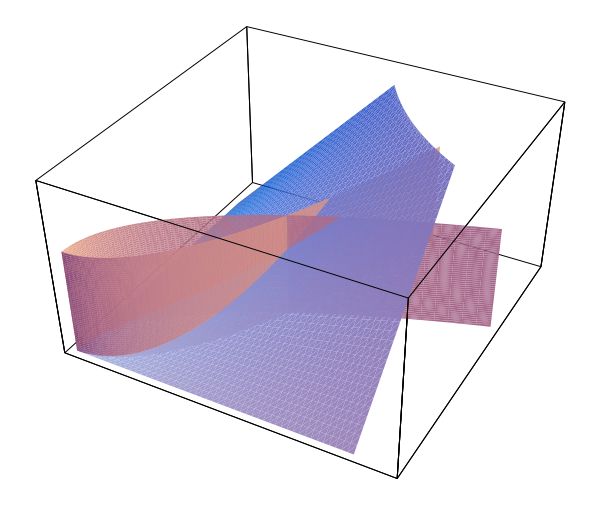


Figura 6.35: Sólido do exemplo [11].

Dé uma região do tipo I: $0 \leq x \leq 1$ e $x^2 \leq y \leq \sqrt{x}$,

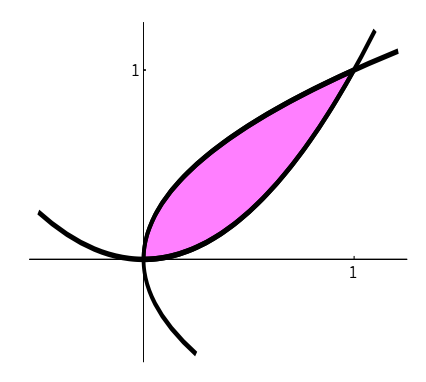


Figura 6.36: Região D.

$$\log V = \iint_D x \, y \, dx \, dy = \int_0^1 \left[\int_{x^2}^{\sqrt{x}} x \, y \, dy \right] dx = \frac{1}{2} \int_0^1 (x^2 - x^5) \, dx = \frac{1}{12} \, u.v.$$

Capítulo 7

Mudança de Coordenadas

7.1 Introdução

Seja $D^* \subset \mathbb{R}^2$ uma região elementar no plano uv e:

$$x, y: D^* \longrightarrow \mathbb{R},$$

onde x=x(u,v) e y=y(u,v) são funções contínuas e com derivadas parciais contínuas num retângulo aberto R tal que $D^*\subset R$. Estas duas funções determinam uma transformação do plano uv no plano xy. De fato, $T:D^*\longrightarrow \mathbb{R}^2$, onde T(u,v)=(x(u,v),y(u,v)). A transformação T é também denotada por:

$$\begin{cases} x = x(u, v) \\ y = y(u, v), & (u, v) \in D^*. \end{cases}$$

Denotemos a imagen de D^* por T como $D = T(D^*)$, contida no plano xy.

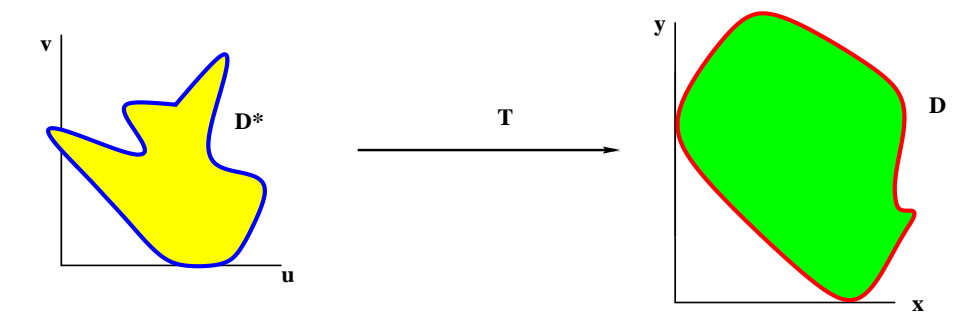


Figura 7.1: Mudança de coordenadas.

Exemplo 7.1.

Seja $D^* = [0,1] \times [0,2\pi]$ e $T(r,t) = (r\cos(t), r\sin(t))$, Determinemos $D = T(D^*)$ no plano xy.

$$\begin{cases} x = r\cos(t) \\ y = r\sin(t); \end{cases}$$

logo: $x^2+y^2=r^2\leq 1$; então $D=\{(x,y)\in\mathbb{R}^2/x^2+y^2\leq 1\}.$

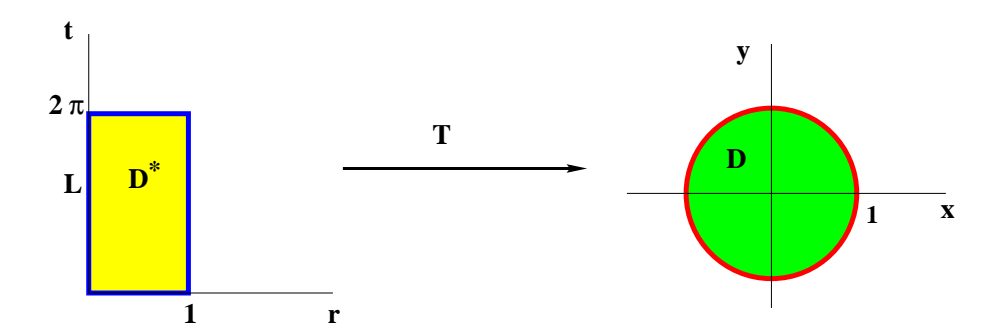


Figura 7.2:

Definição 7.1. Uma transformação T é **injetiva** em D^* se $T(u_1, v_1) = T(u_2, v_2)$ implica em $u_1 = u_2$ e $v_1 = v_2$, para todo par de elementos (u_1, v_1) , $(u_2, v_2) \in D^*$.

No exemplo 7.1, temos que $D^* = [0,1] \times [0,2\pi]$ e $T(r,t) = (r\cos(t),r\sin(t))$. A transformação T não é injetiva: De fato, $T(0,t_1) = T(0,t_2) = (0,0)$ para $t_1 \neq t_2$. Observe que T(L) = (0,0), onde $L = \{(0,t)/0 \leq t \leq 2\pi\}$. Mas se $D^* = (0,1] \times (0,2\pi]$, T é injetiva.

Seja $T: D^* \longrightarrow D$ uma transformação definida por:

$$\begin{cases} x = x(u, v) \\ y = y(u, v), \quad (u, v) \in D^*. \end{cases}$$

Considere a seguinte matriz:

$$J = \begin{bmatrix} \frac{\partial x}{\partial u} & \frac{\partial x}{\partial v} \\ \frac{\partial y}{\partial u} & \frac{\partial y}{\partial v} \end{bmatrix}$$

onde as derivadas parciais são calculadas nos pontos $(u, v) \in D^*$. J é chamada matriz Jacobiana (de Jacobi) da transformação T.

Definição 7.2. *O determinante da matriz J, dito* **jacobiano** *de T, é denotado e definido por:*

$$\boxed{\frac{\partial(x,y)}{\partial(u,v)} = \det(J) = \frac{\partial x}{\partial u} \frac{\partial y}{\partial v} - \frac{\partial x}{\partial v} \frac{\partial y}{\partial u}}$$

onde as derivadas parciais são calculadas nos pontos $(u, v) \in D^*$.

A importância da matriz Jacobiana de uma transformação deverá ser estudada com mais rigor, em disciplinas mais avançadas. Por enquanto citaremos a seguinte proposição, sem prova:

Proposição 7.1. Se $\frac{\partial(x,y)}{\partial(u,v)} \neq 0$, no ponto $(u_0,v_0) \in D^*$, então existe uma vizinhança do ponto (u_0,v_0) tal que a restrição de T a esta vizinhança é injetiva.

Exemplo 7.2.

[1] No exemplo 7.1, temos que $D^* = [0, 1] \times [0, 2\pi]$ e $T(r, t) = (r \cos(t), r \sin(t))$. Logo,

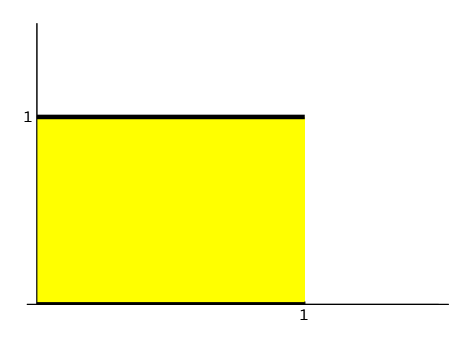
$$\frac{\partial(x,y)}{\partial(r,t)} = r.$$

Note que para todo $(r, t) \in L$ temos $\frac{\partial(x, y)}{\partial(r, t)} = 0$.

[2] Seja o quadrado $D^* = [0,1] \times [0,1]$ e T(u,v) = (u+v,u-v).

$$\begin{cases} x = u + v \\ y = u - v. \end{cases}$$

Se u=0, então y=-x; se v=0, então y=x, se u=1; então y=2-x e se v=1, então y=x-2. A região $D=T(D^*)$ é a região do plano xy limitada pelas curvas $y=x,\ y=-x,\ y=x-2$ e y=2-x. O jacobiano $\frac{\partial(x,y)}{\partial(u,v)}=-2$.



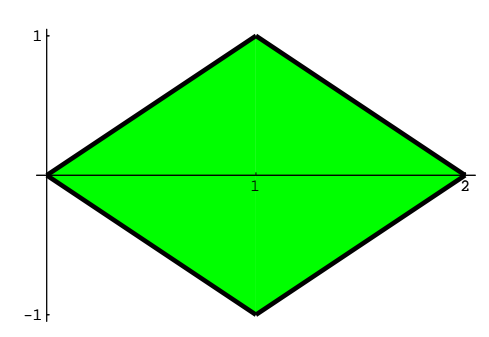
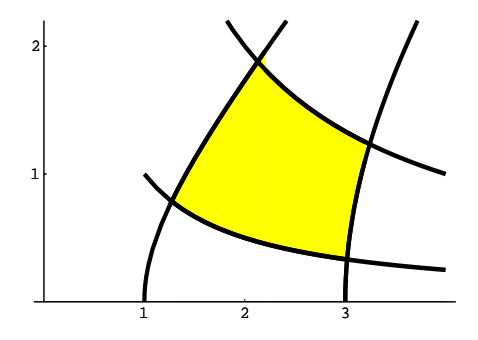


Figura 7.3: Regiões D^* e D, respectivamente.

[3] Seja D^* a região limitada pelas curvas $u^2-v^2=1$, $u^2-v^2=9$, $u\,v=1$ e $u\,v=4$ no primeiro quadrante, sendo $T(u,v)=(u^2-v^2,u\,v)$. Determinemos $T(D^*)=D$, fazendo:

$$\begin{cases} x = u^2 - v^2 \\ y = u v; \end{cases}$$

se $u^2-v^2=1$, então x=1; se $u^2-v^2=9$, então x=9, se $u\,v=1$, então y=1 e se $u\,v=4$, então y=4



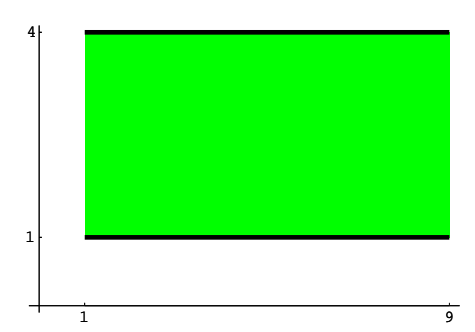


Figura 7.4: Regiões D^* e D, respectivamente.

 $\frac{\partial(x,y)}{\partial(u,v)}=2(u^2+v^2)$, que não se anula em D^* . Logo T é injetiva.

Teorema 7.1. Sejam D e D^* regiões elementares no plano, T uma transformação de classe C^1 e injetiva em D^* . Suponha que $T(D^*) = D$. Então, para toda função integrável f sobre D temos:

$$\left| \iint_D f(x,y) \, dx \, dy = \iint_{D^*} f(u,v) \, \left| \frac{\partial(x,y)}{\partial(u,v)} \right| du \, dv \right|$$

onde $\left|\frac{\partial(x,y)}{\partial(u,v)}\right|$ é o valor absoluto do determinante Jacobiano e f(u,v)=f(x(u,v),y(u,v)). Em particular a área de D é:

$$A(D) = \iint_D dx \, dy = \iint_{D^*} \left| rac{\partial(x,y)}{\partial(u,v)} \right| du \, dv$$

É possível mostrar que o teorema anterior é ainda válido se T não é injetiva num subconjunto de conteúdo nulo de D^* , como no caso de L, no exemplo 1.

Observe que podemos ir do plano uv ao plano xy e vice-versa, pois T é bijetiva.

7.2 Mudança Linear de Coordenadas

Consideremos a seguinte transformação:

$$x = x(u, v) = a_1 u + b_1 v y = y(u, v) = a_2 u + b_2 v$$

onde $a_1 b_2 - a_2 b_1 \neq 0$. Como $\left| \frac{\partial(x,y)}{\partial(u,v)} \right| = |a_1 b_2 - a_2 b_1|$, do teorema anterior, segue:

Corolário 7.2. Se $f(u, v) = f(a_1 u + b_1 v, a_2 u + b_2 v)$, então:

$$\int \!\!\! \int_D \!\! f(x,y) \, dx \, dy = |a_1 b_2 - a_2 b_1| \! \int \!\!\! \int_{D^*} \!\! f(u,v) \, du \, dv$$

Em particular, a área de D é:

$$A(D) = |a_1b_2 - a_2b_1| \, A(D^*)$$

Note que:

$$\begin{cases} u = u(x,y) = \frac{b_2 x - b_1 y}{a_1 b_2 - a_2 b_1}, \\ v = v(x,y) = \frac{-a_2 x + a_1 y}{a_1 b_2 - a_2 b_1}, \end{cases}$$

e que
$$\left| \frac{\partial(u,v)}{\partial(x,y)} \right| = \left| \frac{\partial(x,y)}{\partial(u,v)} \right|^{-1}$$
.

Exemplo 7.3.

[1] Calcule $\iint_D x y \, dx \, dy$, onde D é a região limitada pelas curvas $y=2\,x$, y=x, $y=2\,x-2$ e y=x+1.

Mudamos para o plano uv fazendo:

$$\begin{cases} x = u - v \\ y = 2u - v. \end{cases}$$

A nova região D^* é limitada pelas seguintes curvas: v=0, v=-2, u=0 e u=1.

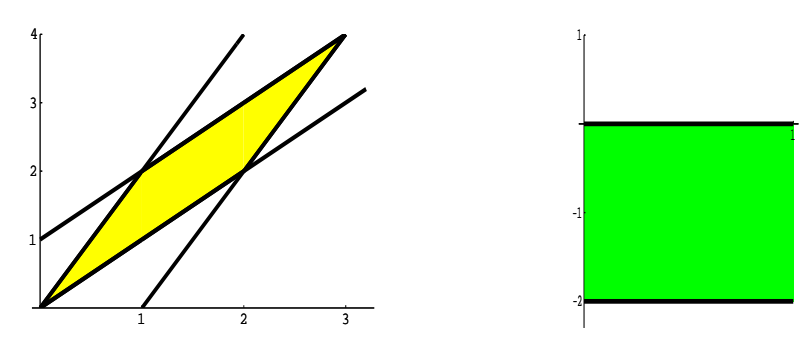


Figura 7.5: Regiões D^* e D, respectivamente.

$$\left| \frac{\partial(x,y)}{\partial(u,v)} \right| = 1$$
 e $f(u,v) = (u-v) \left(2\,u - v \right) = 2u^2 - 3uv + v^2$. Então:

$$\iint_D x \, y \, dx \, dy = \int_0^1 \left[\int_{-2}^0 (2u^2 - 3uv + v^2) \, dv \right] du = 7.$$

[2] Calcule $\iint_D e^{\frac{y-x}{x+y}} dx dy$, onde D é a região limitada pela curva y+x=2 e pelos eixos coordenados.

A presença dos termos x + y e x - y sugerem a seguinte mudança:

$$\begin{cases} u = x + y \\ v = y - x. \end{cases}$$

D é limitada pelas curvas $x=0,\,y=0$ e x+y=2; então, D^* é limitada pelas curvas u=v, u=-v e u=2, respectivamente.

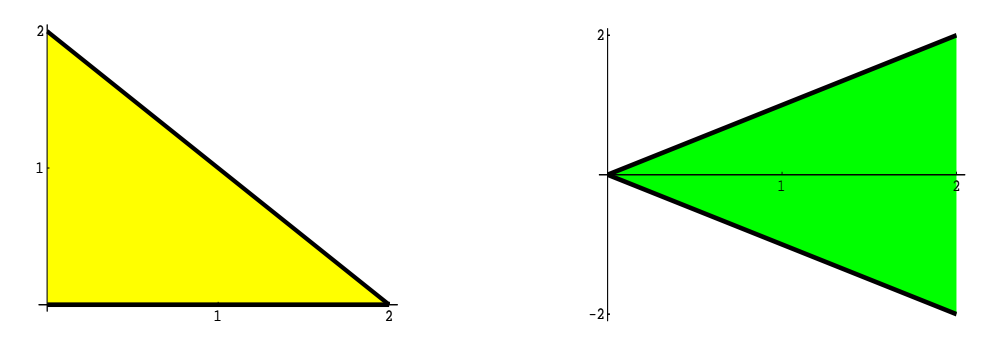


Figura 7.6: Regiões D^* e D, respectivamente.

$$\left| rac{\partial(u,v)}{\partial(x,y)}
ight| = 2$$
 e $\left| rac{\partial(x,y)}{\partial(u,v)}
ight| = rac{1}{2}$, $f(u,v) = e^{rac{v}{u}}$; então:

$$\iint_{D} e^{\frac{y-x}{x+y}} dx dy = \frac{1}{2} \iint_{D^{*}} e^{\frac{v}{u}} du dv = \frac{1}{2} \int_{0}^{2} \left[\int_{-u}^{u} e^{\frac{v}{u}} dv \right] du$$
$$= \frac{1}{2} \int_{0}^{2} u e^{\frac{v}{u}} \Big|_{v=-u}^{v=u} du = \frac{e - e^{-1}}{2} \int_{0}^{2} u du$$
$$= e - e^{-1}.$$

[3] Determine a área da região D limitada pela curva fechada $(2x - 4y + 7)^2 + (x - 5y)^2 = 16$. Considere a mudança:

$$\begin{cases} u = 2x - 4y + 7 \\ v = x - 5y. \end{cases}$$

 D^* é a região limitada pela curva $u^2+v^2=16$ que é um círculo centrado na origem e de raio 4.

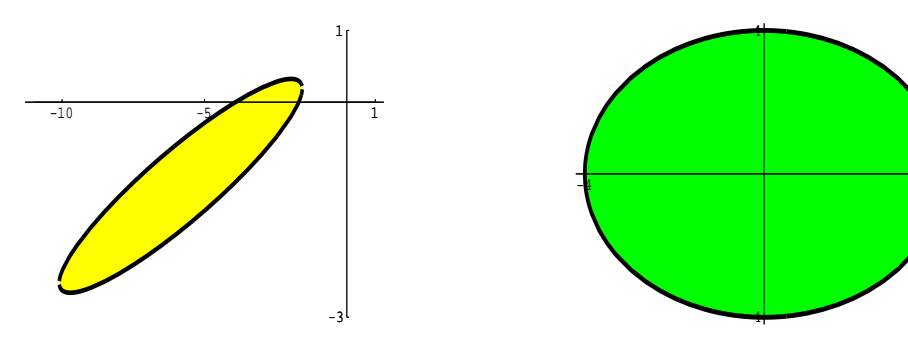


Figura 7.7: Regiões D^* e D, respectivamente.

$$\left| rac{\partial(u,v)}{\partial(x,y)}
ight| = 6$$
; então $\left| rac{\partial(x,y)}{\partial(u,v)}
ight| = rac{1}{6}$ e:

$$A(D) = \frac{1}{6} \iint_{D^*} du \, dv = \frac{1}{6} A(D^*) = \frac{8}{3} \pi u.a.$$

[4] Calcule $\iint_D cos(\frac{x-y}{x+y}) dx dy$, onde D é a região limitada pela curva y+x=1 e pelos eixos coordenados.

A presença dos termos x + y e x - y sugerem a seguinte mudança:

$$\begin{cases} u = x - y \\ v = x + y. \end{cases}$$

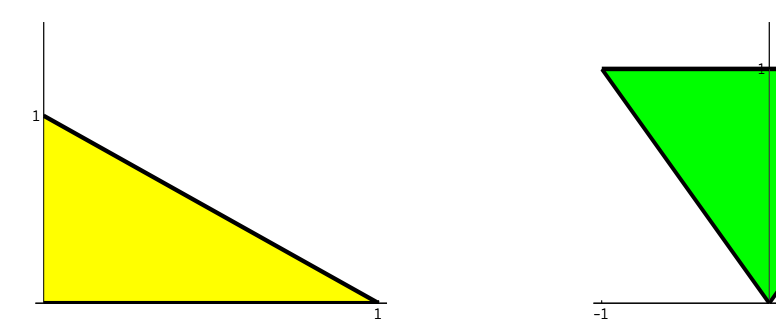


Figura 7.8: Regiões D^* e D, respectivamente.

 D^* é a região limitada pelas seguintes curvas: u=v, u=-v e v=1, $\left|\frac{\partial(x,y)}{\partial(u,v)}\right|=\frac{1}{2}$ e $f(u,v)=\cos\left(\frac{u}{v}\right)$; então:

$$\iint_{D} \cos\left(\frac{y-x}{x+y}\right) dx \, dy = \frac{1}{2} \iint_{D^*} \cos\left(\frac{u}{v}\right) du \, dv = \frac{1}{2} \int_{0}^{1} \left(\int_{-v}^{v} \cos\left(\frac{u}{v}\right) du\right) dv$$
$$= \frac{1}{2} \int_{0}^{1} v\left(sen(1) - sen(-1)\right) dv = sen(1) \int_{0}^{1} v \, dv$$
$$= \frac{sen(1)}{2}.$$

[5] Calcule $\iint_D \frac{y+2x}{(y-2x)^2} dx dy$, onde D é a região limitada pelas curvas y-2 x=2, y+2 x=2, y-2 x=1 e y+2 x=1.

A presença dos termos y + 2x e y - 2x sugerem a seguinte mudança:

$$\begin{cases} u = y + 2x \\ v = y - 2x. \end{cases}$$

 D^* é a região limitada pelas seguintes curvas: $u=1,\,u=2,\,v=1$ e v=2.

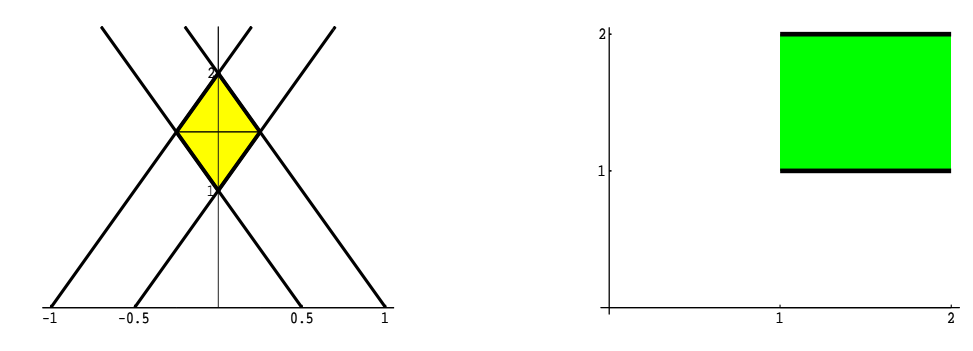


Figura 7.9: Regiões D^* e D, respectivamente.

$$\iint_{D} \frac{y+2x}{(y-2x)^2} dx dy = \frac{1}{4} \iint_{D^*} \frac{u}{v^2} du dv = \frac{1}{4} \int_{1}^{2} \left[\int_{1}^{2} \frac{u}{v^2} du \right] dv = \frac{3}{16}.$$

7.3 Mudança Polar de Coordenadas

Um ponto P=(x,y) em coordenadas retangulares tem coordenadas polares (r,θ) onde r é a distância da origem a P e θ é o ângulo formado pelo eixo dos x e o segmento de reta que liga a origem a P.

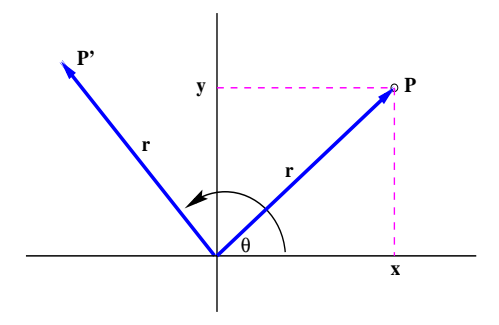


Figura 7.10: Mudança polar de coordenadas.

A relação entre as coordenadas (x, y) e (r, θ) é dada por:

$$\begin{cases} x = r\cos(\theta) \\ y = r\sin(\theta) \end{cases}$$

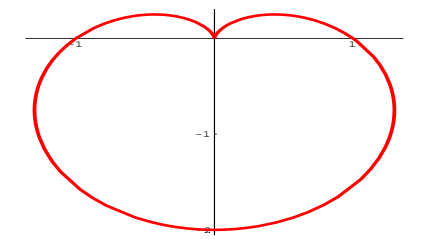
onde $r = \sqrt{x^2 + y^2}$ e $\theta = arctg(\frac{y}{x}), x \neq 0$.

Esta mudança é injetiva em $D^* = \{(r,\theta)/r > 0, \, \theta_0 < \theta < \theta_0 + 2\pi\}$, θ_0 =constante. Note que a região circular $D = \{(x,y)/x^2 + y^2 \le a^2\}$ corresponde, em coordenadas polares, à região retangular $D^* = \{(r,\theta)/0 \le r \le a, \, 0 \le \theta \le 2\pi\} = [0,a] \times [0,2\pi]$.

Exemplo 7.4.

[1] A cardióide é uma curva de equação cartesiana $x^2 + y^2 = \sqrt{x^2 + y^2} - y$; em coordenadas polares fica $r = 1 - sen(\theta)$, $r \ge 0$.

[2] A lemniscata de Bernoulli é uma curva de equação cartesiana $(x^2+y^2)^2=a^2\,(x^2-y^2)$; em coordenadas polares fica $r^2=a^2\cos(2\theta)$.



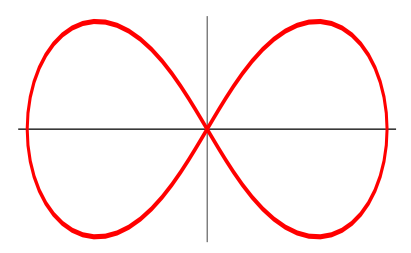


Figura 7.11: Cardióide e lemniscata, respectivamente.

[3] O cilindro circular reto de raio a, em coordenadas cartesianas é definido como o seguinte conjunto $C = \{(x, y, z) \in \mathbb{R}^3 / x^2 + y^2 = a^2, \ a \ge 0\}$; em coordenadas polares:

$$C = \{(r, \theta, z) \in \mathbb{R}^3 / r = a, 0 \le \theta \le 2\pi\}.$$

Calculemos o jacobiano da mudança de coordenadas polares: $\left|\frac{\partial(x,y)}{\partial(u,v)}\right|=r>0$. Do teorema anterior, segue:

Corolário 7.3. Se $f(r, \theta) = f(r\cos(\theta), r\sin(\theta))$, então:

$$\iint_{D} f(x, y) dx dy = \iint_{D^{*}} r f(r, \theta) dr d\theta$$

Esta igualdade ainda é válida se $D^* = \{(r, \theta)/r \geq 0, \ \theta_0 \leq \theta \leq \theta_0 + 2\pi\}.$

Em particular a área de D é:

$$A(D) = \iint_{D} dx \, dy = \iint_{D^*} r \, dr \, d\theta$$

7.3.1 Regiões Limitadas por Círculos

Seja a>0. A região D, limitada pelo círculo $x^2+y^2=a^2$, em coordenadas polares é dada por:

$$D^* = \{ (r, \theta) \in \mathbb{R}^2 / 0 \le r \le a, \ 0 \le \theta \le 2 \,\pi \}.$$

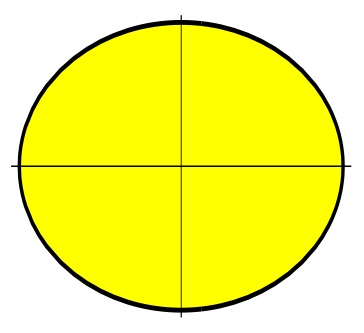


Figura 7.12: A região *D*.

Neste caso:

$$\int \int_{D} f(x, y) dx dy = \int_{0}^{2\pi} \left[\int_{0}^{a} r f(r, \theta) dr \right] d\theta$$

A região D, limitada pelo círculo $(x-a)^2+y^2\leq a^2$, em coordenadas polares é:

$$D^* = \{(r, \theta) \in \mathbb{R}^2 / 0 \le r \le 2 a \cos(\theta), -\frac{\pi}{2} \le \theta \le \frac{\pi}{2} \}.$$

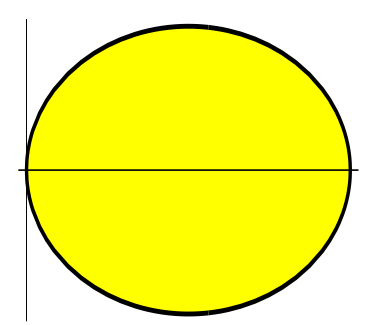


Figura 7.13: A região *D*.

Neste caso:

$$\int\!\!\!\int_{D} f(x,y) \, dx \, dy = \int_{-\frac{\pi}{2}}^{\frac{\pi}{2}} \left[\int_{0}^{2 \operatorname{acos}(\theta)} r \, f(r,\theta) \, dr \right] d\theta$$

A região D, limitada pelo círculo $x^2+(y-a)^2\leq a^2$, em coordenadas polares é:

$$D^* = \{(r, \theta) \in \mathbb{R}^2 / 0 \le r \le 2 \, a \, sen(\theta), \, 0 \le \theta \le \pi\}.$$

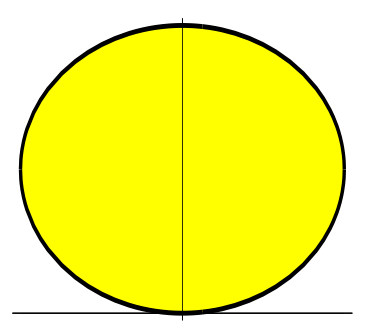


Figura 7.14: A região D.

Neste caso:

$$\int \int_{D} f(x, y) dx dy = \int_{0}^{\pi} \left[\int_{0}^{2a \operatorname{sen}(\theta)} r f(r, \theta) dr \right] d\theta$$

Exemplo 7.5.

[1] Calcule $\iint_D (x^2+y^2) dx dy$, onde D é a região limitada pelas curvas $x^2+y^2=1$, $x^2+y^2=4$, y=x e $y=\frac{\sqrt{3}}{3}x$, no primeiro quadrante.

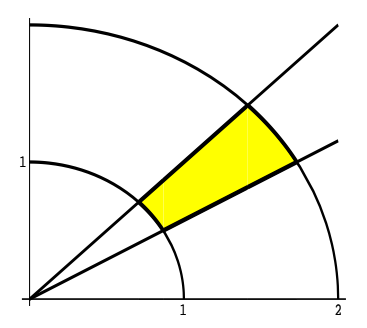


Figura 7.15: A região D.

Usando coordenadas polares, a nova região D^* no plano $r\theta$ é determinada por:

$$D^* = \{(r, \theta) / 1 \le r \le 2, \quad \frac{\pi}{6} \le \theta \le \frac{\pi}{4}\}.$$

Como $x^2 + y^2 = r^2$, temos:

$$\iint_D (x^2 + y^2) \, dx \, dy = \iint_{D^*} r^3 \, dr \, d\theta = \int_{\frac{\pi}{6}}^{\frac{\pi}{4}} \left[\int_1^2 r^3 \, dr \right] d\theta = \frac{5 \, \pi}{16}.$$

[2] Calcule $\iint_D ln(x^2 + y^2) dx dy$, onde D é a região limitada pelas curvas $x^2 + y^2 = a^2$ e $x^2 + y^2 = b^2$, (0 < a < b).

Usando coordenadas polares temos que D^* está determinada por: $a \le r \le b$ e $0 \le \theta \le 2\pi$. Por outro lado, $ln(x^2 + y^2) = 2 ln(r)$,

$$\iint_{D} \ln(x^{2} + y^{2}) \, dx \, dy = \iint_{D^{*}} 2r \ln(r) \, dr \, d\theta = 4\pi \int_{a}^{b} r \ln(r) \, dr = \pi \left(r^{2} (2\ln(r) - 1)\right) \Big|_{a}^{b}$$
$$= \pi \left(2 b^{2} \ln(b) - 2 a^{2} \ln(a) + a^{2} - b^{2}\right).$$

[3] Determine o volume do sólido situado acima do plano xy e limitado pelos gráficos de $z=x^2+y^2$ e $x^2+y^2=2\,y$.

O gráfico de $z=x^2+y^2$ é um parabolóide centrado na origem e o de $x^2+y^2=2y$ é um cilindro circular reto centrado em (0,1,0) e de raio 1, pois, $x^2+y^2-2y=x^2+(y-1)^2-1$.

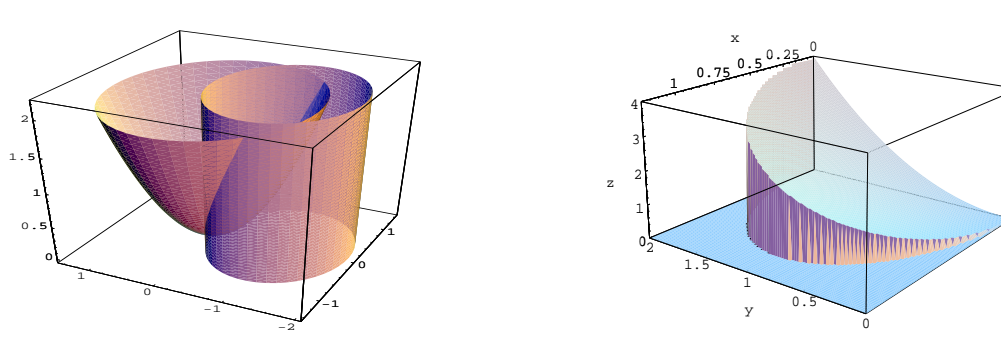


Figura 7.16: O sólido do exemplo [3].

Logo $D = \{(x, y) \in \mathbb{R}^2 / x^2 + (y - 1)^2 \le 1\}$, em coordenadas polares é:

$$D^* = \{ (r, \theta) \in \mathbb{R}^2 / 0 \le r \le 2 \operatorname{sen}(\theta), \ 0 \le \theta \le \pi \}.$$

O sólido W é limitado superiormente pelo paraboló
ide. $V=\iint_D (x^2+y^2)\,dx\,dy$. Utilizando coordenadas polares temos $x^2+y^2=r^2$ e:

$$V = \iint_{D} (x^{2} + y^{2}) dx dy = \iint_{D^{*}} r^{3} dr d\theta = \int_{0}^{\pi} \left[\int_{0}^{2sen(\theta)} r^{3} dr \right] d\theta = 4 \int_{0}^{\pi} sen^{4}(\theta) d\theta$$
$$= -sen^{3}(\theta) cos(\theta) - \frac{3}{2} cos(\theta) sen(\theta) + \frac{3\theta}{2} \Big|_{0}^{\pi} = \frac{3\pi}{2} u.v.$$

[4] Calcule o volume do sólido limitado externamente por $x^2 + y^2 + z^2 = 25$ e internamente por $x^2 + y^2 = 9$.

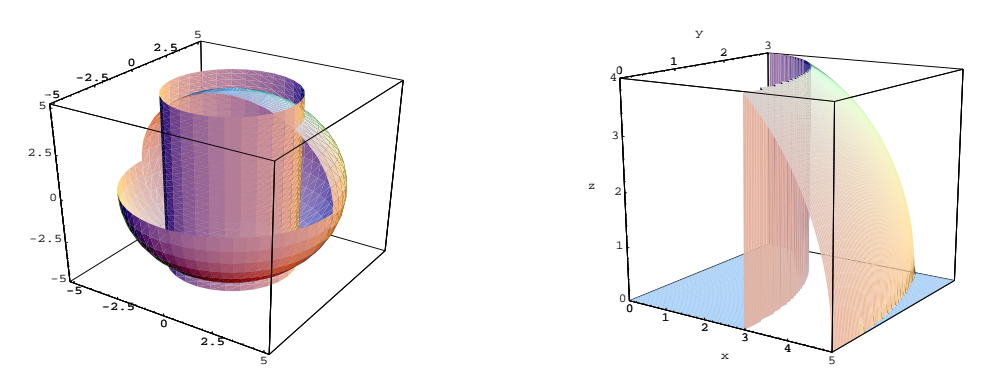


Figura 7.17: O sólido do exemplo [4].

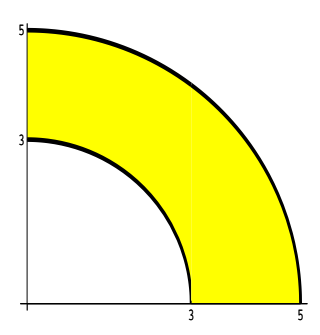


Figura 7.18: A região *D*.

Pela simetria do sólido, calculamos o volume no primeiro octante e multiplicamos o resultado por 8.

$$V = 8 \iint_{D} \sqrt{25 - x^2 - y^2} \, dx \, dy,$$

onde D é a projeção do sólido no plano xy. Usando coordenadas polares obtemos a nova região D^* definida por: $3 \le r \le 5$, $0 \le \theta \le \frac{\pi}{2}$ e $\sqrt{25 - x^2 - y^2} = \sqrt{25 - r^2}$:

$$V=8\iint_{D}\sqrt{25-x^2-y^2}\,dx\,dy=8\int_{0}^{rac{\pi}{2}}\left[\int_{3}^{5}r\,\sqrt{25-r^2}\,dr
ight]d heta=rac{256\pi}{3}\,u.v.$$

215

[5] Calcule o volume do sólido limitado pelo elipsóide $\frac{x^2}{a^2} + \frac{y^2}{b^2} + \frac{z^2}{c^2} = 1$; $a, b, c \neq 0$. Pela simetria do sólido calculamos o volume relativo ao primeiro octante; logo:

$$V = 8 c \iint_{D} \sqrt{1 - \left(\frac{x^2}{a^2} + \frac{y^2}{b^2}\right)} dx dy.$$

A região D é limitada pela porção de elipse $\frac{x^2}{a^2} + \frac{y^2}{b^2} = 1$ no primeiro quadrante. Usemos primeiramente a seguinte mudança:

$$\begin{cases} x = a u \\ y = b v; \end{cases}$$

o determinante Jacobiano da mudança é a b e D^* é limitada por $u^2 + v^2 = 1$. Temos:

$$V = 8 c \iint_{D} \sqrt{1 - \left(\frac{x^2}{a^2} + \frac{y^2}{b^2}\right)} dx dy = 8 a b c \iint_{D^*} \sqrt{1 - u^2 - v^2} du dv.$$

Agora, usamos coordenadas polares:

$$\begin{cases} u = r \cos(\theta) \\ v = r \sin(\theta). \end{cases}$$

O determinante Jacobiano é r; $\sqrt{1-u^2-v^2}=\sqrt{1-r^2}$ e a nova região D^{**} é definida por $0\leq r\leq 1$ e $0\leq \theta\leq \frac{\pi}{2}$:

$$V = 8 a b c \iint_{D^{**}} r \sqrt{1 - r^2} dr d\theta = \frac{4 a b c \pi}{3} u.v.$$

Em particular, se a=b=c temos uma esfera de raio a e $V=\frac{4\,\pi\,a^3}{3}\,u.v.$

[6] Calcule
$$\int_0^{+\infty} e^{-x^2} dx.$$

Esta integral é muito utilizada em Estatística. Seja $R = [-a, a] \times [-a, a]$. Então:

$$\iint_R e^{-(x^2+y^2)} \, dx \, dy = \int_{-a}^a \left[\int_{-a}^a e^{-x^2} \, e^{-y^2} \, dy \right] dx = \left[\int_{-a}^a e^{-x^2} \, dx \right] \left[\int_{-a}^a e^{-y^2} \, dy \right].$$

O gráfico de $f(x, y) = e^{-(x^2+y^2)}$ é:

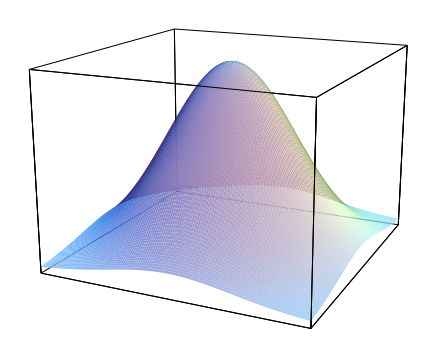


Figura 7.19:

Se denotamos por $L(a)=\int_{-a}^a e^{-u^2}\,du=2\int_0^a e^{-u^2}\,du$, temos:

$$L^{2}(a) = \iint_{R} e^{-(x^{2}+y^{2})} dx dy.$$

Sejam D e D_1 regiões elementares tais que $D \subset R \subset D_1$ onde D é a região limitada pelo círculo inscrito em R e D_1 é a região limitada pelo círculo circunscrito a R:

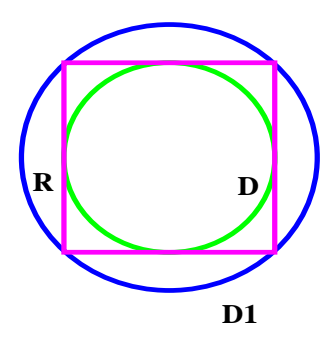


Figura 7.20:

Como $f(x,y) = e^{-(x^2+y^2)}$ é contínua em D_1 e $e^{-(x^2+y^2)} > 0$, para todo x, y,

$$\iint_D e^{-(x^2+y^2)} \, dx \, dy \le L^2(a) \le \iint_{D_1} e^{-(x^2+y^2)} \, dx \, dy.$$

Usando coordenadas polares, D é definida por $0 \le r \le a$ e $0 \le \theta \le 2\pi$, D_1 é definida por $0 \le r \le \sqrt{2}\,a$ e $0 \le \theta \le 2\pi$; $e^{-(x^2+y^2)} = e^{-r^2}$ e:

$$\int_0^{2\pi} \left[\int_0^a r \, e^{-r^2} \, dr \right] d\theta = \pi \, (1 - e^{-a^2});$$

então,

$$\sqrt{\pi\left(1-e^{-a^2}\right)} \leq L(a) \leq \sqrt{\pi\left(1-e^{-2a^2}\right)}.$$

Como $\lim_{a\to +\infty} \int_0^a e^{-u^2} du = \int_0^{+\infty} e^{-u^2} du$, temos:

$$\int_0^{+\infty} e^{-u^2} du = \frac{\sqrt{\pi}}{2}.$$

[7] Se $D = \{(x,y) \in \mathbb{R}^2 / 1 \le (x-y)^2 + (x+y)^2 \le 4, y \le 0, x+y \ge 0 \}$, calcule:

$$\iint_{D} \frac{e^{\frac{x+y}{x-y}}}{(x-y)^2} dx \, dy.$$

Usamos mudança linear:

$$\begin{cases} u = x - y \\ v = x + y. \end{cases}$$

Logo, a nova região D^* é limitada pelas curvas $u^2+v^2=1$, $u^2+v^2=4$, $v\leq u$ e $0\leq v$:

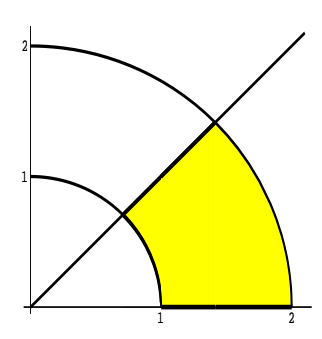


Figura 7.21: Região *D*.

$$\frac{\partial(u,v)}{\partial(x,y)}=2$$
 então $\frac{\partial(x,y)}{\partial(u,v)}=\frac{1}{2}$ e

$$\iint_{D} \frac{e^{\frac{x+y}{x-y}}}{(x-y)^2} dx \, dy = \frac{1}{2} \iint_{D^*} \frac{e^{\frac{v}{u}}}{u^2} \, du \, dv.$$

Usando coordenadas polares obtemos a região D^{**} definida por: $1 \le r \le 2$ e $0 \le \theta \le \frac{\pi}{4}$:

$$\frac{1}{2} \iint_{D^*} \frac{e^{\frac{v}{u}}}{u^2} du \, dv = \frac{1}{2} \iint_{D^{**}} \frac{r \, e^{tg(\theta)}}{r^2 \cos^2(\theta)} \, dr \, d\theta = \frac{\ln(2)}{2} (e - 1).$$

7.3.2 Aplicação

Seja D região do tipo II, limitada por curvas de equações (em forma polar): $r=g(\theta)$ e $r=h(\theta)$ e definida por:

$$D = \{(r, \theta)/g(\theta) \le r \le h(\theta), \ \theta_1 \le \theta \le \theta_2\},\$$

onde $g,h:[\theta_1,\theta_2]\longrightarrow \mathbb{R}$ são funções contínuas tais que $0\leq g(\theta)\leq h(\theta)$.

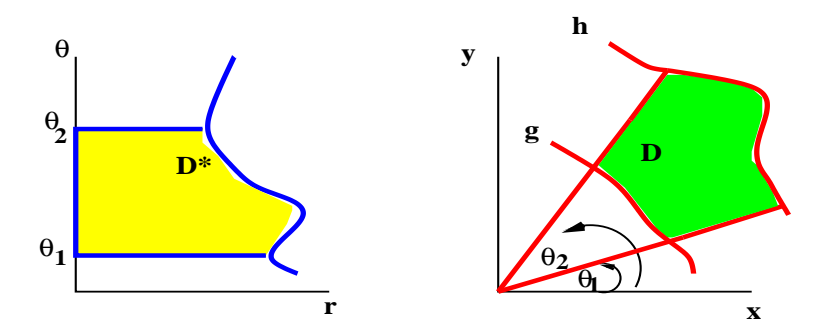


Figura 7.22:

Então:

$$\int \int_{D} f(x,y) dx dy = \int_{\theta_{1}}^{\theta_{2}} \left[\int_{g(\theta_{1})}^{h(\theta_{2})} r f(r,\theta) dr \right] d\theta$$

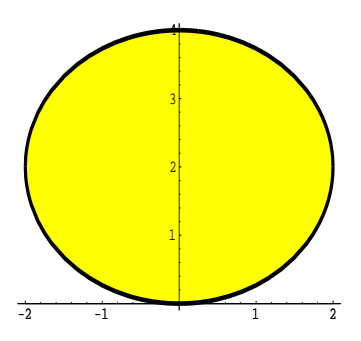
Em particular, a área de D é:

$$A(D) = \iint_{D} dx \, dy = \frac{1}{2} \int_{\theta_{1}}^{\theta_{2}} \left[(h(\theta))^{2} - (g(\theta))^{2} \right] d\theta$$

Exemplo 7.6.

[1] Calcule o volume do sólido limitado pelo cone $z=\sqrt{x^2+y^2}$ e pelo cilindro $r=4\,sen(\theta)$, no primeiro octante.

Usando coordenadas polares temos que o cone escreve-se z=r; no plano r θ o cilindro projeta-se no círculo r=4 $sen(\theta)$; logo $0 \le r \le 4$ $sen(\theta)$ e $0 \le \theta \le \frac{\pi}{2}$.



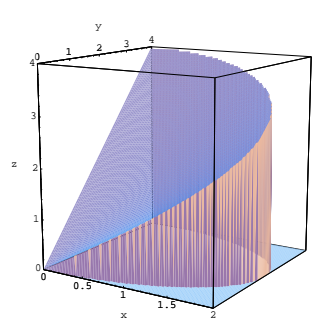


Figura 7.23:

$$V = \iint_{D^*} r^2 dr d\theta = \int_0^{\frac{\pi}{2}} \left[\int_0^{4 \operatorname{sen}(\theta)} r^2 dr \right] d\theta = \frac{128}{9} u.v.$$

[2] Calcule a área da região limitada pelo interior do círculo $r=4\,sen(\theta)$ e pelo exterior do círculo r=2.

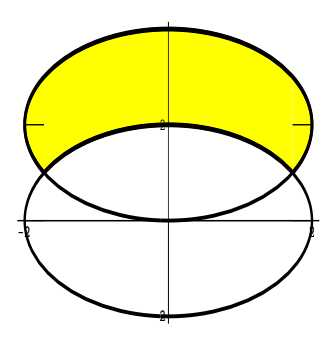


Figura 7.24:

Os círculos se intersectam em: $\theta = \frac{\pi}{6}$ e $\theta = \frac{5\pi}{6}$ e:

$$A(D) = \frac{1}{2} \int_{\frac{\pi}{6}}^{\frac{5\pi}{6}} (16 \operatorname{sen}^{2}(\theta) - 4) d\theta = (\frac{2\pi}{3} + 2\sqrt{3}) u.a.$$

[3] Calcule a área da região limitada por $r = 2(1 + sen(\theta))$.

219

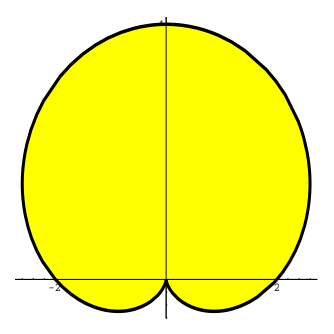


Figura 7.25:

$$0 \le \theta \le 2\pi$$
. Logo: $A(D) = 2\int_0^{2\pi} (1 + sen(\theta))^2 d\theta = 6\pi u.a.$

[4] Calcule a área da região limitada por $r = sen(3\theta)$.

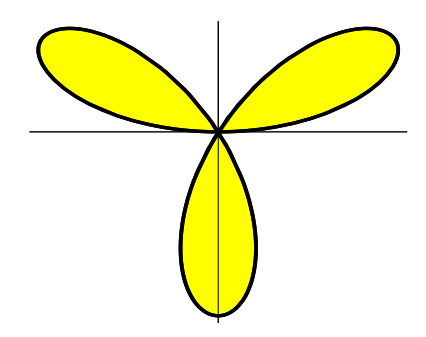


Figura 7.26:

$$0 \le \theta \le 2\pi$$
. Logo: $A(D) = \frac{1}{2} \int_0^{2\pi} sen^2(3\theta) d\theta = \frac{\pi}{2} u.a.$

7.4 Outras Aplicações da Integral Dupla

Como em uma variável, outras aplicações, além do cálculo de volumes, podem ser definidas através de integrais duplas, tais como, massa total, centro de massa e momento de inércia.

7.4.1 Massa Total

Suponha que uma lâmina fina tem a forma de uma região elementar D e consideremos que a massa está distribuida sobre D com densidade conhecida, isto é, existe uma função z = f(x,y) > 0 em D que representa a massa por unidade de área em cada ponto $(x,y) \in D$. Se a lâmina é feita de material homogêneo, a densidade é constante. Neste caso a massa total da lâmina é o produto da densidade pela área da lâmina. Quando a densidade f varia de ponto a ponto em D e f é uma função integrável sobre D, a massa total M(D) de D é dada por:

$$M(D) = \iint_{D} f(x, y) \, dx \, dy$$

7.4.2 Momento de Massa

O momento de massa de uma patícula em torno de um eixo é o produto de sua massa pela distância (na perpendicular) ao eixo. Então, os momentos de massa da lâmina D em relação ao eixo dos x e dos y são respectivamente:

$$M_x = \iint_D y f(x, y) dx dy, \qquad M_y = \iint_D x f(x, y) dx dy$$

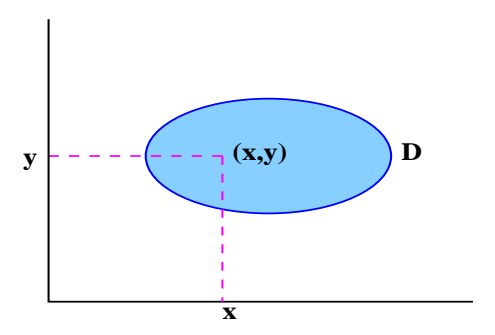


Figura 7.27:

7.4.3 Centro de Massa

O centro de massa da lâmina é definido por $(\overline{x}, \overline{y})$, onde:

$$\overline{x} = rac{M_y}{M(D)}, \qquad \overline{y} = rac{M_x}{M(D)}$$

Fisicamente $(\overline{x}, \overline{y})$ é o ponto em que a massa total da lâmina poderia estar concentrada sem alterar seu momento em relação a qualquer dos eixos. Se f(x,y)=k, (k>0) em todo D, $(\overline{x}, \overline{y})$ é chamado centróide de D. Neste caso o centro de massa é o centro geométrico da região D.

Exemplo 7.7.

[1] Calcule o centro de massa do retângulo $[0,1] \times [0,1]$ se a densidade é dada pela função: $f(x,y) = e^{x+y}$. A massa total de $D = [0,1] \times [0,1]$ é:

$$M(D) = \int_0^1 \left[\int_0^1 e^{x+y} \, dx \right] dy = e^2 - 2e + 1.$$

Os momentos de massa respectivos são:

$$M_x = \int_0^1 \left[\int_0^1 y \, e^{x+y} \, dx \right] dy = e - 1$$
 e $M_y = \int_0^1 \left[\int_0^1 x \, e^{x+y} \, dx \right] dy = e - 1$

e o centro de massa de D é $(\frac{1}{e-1}, \frac{1}{e-1})$.

221

[2] Determine o centro de massa da região limitada por um semicírculo D de raio a centrado na origem, sabendo que sua densidade em cada ponto é proporcional à distância do ponto à origem.

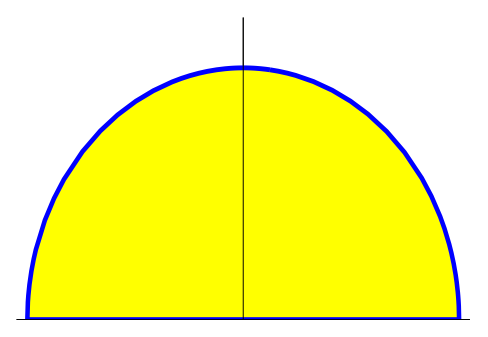


Figura 7.28:

 $f(x,y)=k\sqrt{x^2+y^2}$. Calculamos a massa total usando coordenadas polares. A nova região D^* é definida por: $0\leq r\leq a$ e $0\leq \theta\leq \pi$; $\sqrt{x^2+y^2}=r$:

$$M(D) = k \int_0^{\pi} \left[\int_0^a r^2 dr \right] d\theta = \frac{k \pi a^3}{3}.$$

Os momentos de massa respectivos são:

$$M_x = \int_0^a \left[\int_0^\pi r^3 \cos(\theta) \, d\theta \right] dr = 0 \quad \text{e} \quad M_y = \int_0^a \left[\int_0^\pi r^3 \sin(\theta) \, d\theta \right] dr = \frac{a^4}{2};$$

o centro de massa de $D \notin (0, \frac{3a}{2k\pi})$.

[3] Determine o centróide da região limitada pelas curvas $y=x^2$ e $y=4\,x-x^2$.

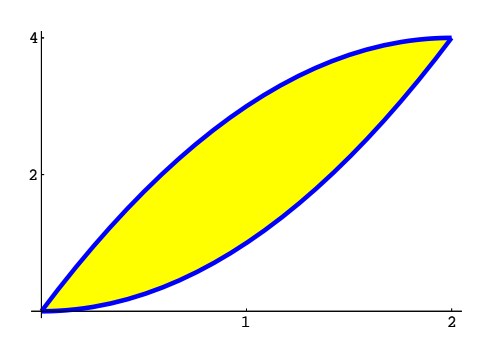


Figura 7.29:

Neste caso f(x, y) = 1 para todo $(x, y) \in D$, onde:

$$D = \{(x, y) \in \mathbb{R}^2 / 0 \le x \le 2, \ x^2 \le y \le 4x - x^2 \}$$

e $M(D)=A(D)=\frac{8}{3}$. Esta área já foi calculada anteriormente.

$$M_x = \int_0^2 \left[\int_{x^2}^{4x - x^2} y \, dy \right] dx = \frac{16}{3}$$
 e $M_y = \int_0^2 \left[\int_{x^2}^{4x - x^2} x \, dy \right] dx = \frac{8}{3};$

o centróide de D é (2,1).

[4] Determine o centro de massa da região limitada pelas curvas $y=x+x^2$, y=0 e x=2 se a densidade em cada ponto é $f(x,y)=\frac{y}{1+x}$.

$$\begin{split} M(D) &= \int_0^2 \left[\int_0^{x(x+1)} \frac{y}{1+x} dy \right] dx = \frac{1}{2} \int_0^2 (x^3 + x^2) dx = \frac{10}{3}, \\ M_x &= \int_0^2 \left[\int_0^{x(x+1)} \frac{y^2}{1+x} dy \right] dx = \frac{1}{2} \int_0^2 (x^4 + x^3) dx = \frac{412}{45}, \\ M_y &= \int_0^2 \left[\int_0^{x(x+1)} \frac{xy}{1+x} dy \right] dx = \frac{1}{3} \int_0^2 (x^5 + 2x^4 + x^3) dx = \frac{26}{5}; \end{split}$$

o centro de massa de D é $(\frac{39}{25}, \frac{206}{75})$.

7.4.4 Momento de Inércia

Sejam L uma reta no plano, D uma lâmina como antes e $\delta(x,y)=d((x,y),L)$, onde d é a distância no plano e $(x,y)\in D$.

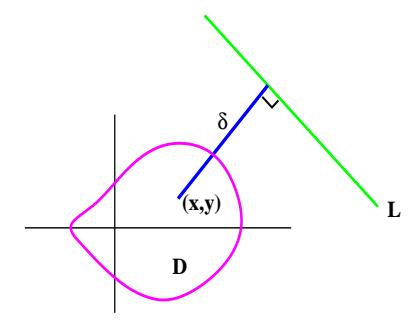


Figura 7.30:

Se f(x,y) é a densidade em cada ponto de D, o momento de inércia da lâmina em relação à reta L é:

$$I_L = \iint_D \delta^2(x, y) f(x, y) dx dy$$

Em particular, se L é o eixo dos x:

$$I_x = \iint_D y^2 f(x, y) \, dx \, dy$$

Se L é o eixo dos y:

$$I_y = \iint_D x^2 f(x, y) \, dx \, dy$$

7.5. EXERCÍCIOS 223

O momento de inércia polar em relação à origem é:

$$I_0 = I_x + I_y = \iint_D (x^2 + y^2) f(x, y) dx dy$$

O momento de inércia de um corpo em relação a um eixo é sua capacidade de resistir à aceleração angular em torno desse eixo.

Exemplo 7.8.

[1] Determine o momento de inércia polar da região limitada pelas curvas $y = e^x$, x = 1, y = 0 e x = 0, se a densidade em cada ponto é f(x, y) = x y.

$$I_x = \iint_D xy^3 \, dx \, dy = \int_0^1 \left[\int_0^{e^x} x \, y^3 \, dy \right] dx = \frac{1}{64} (3 \, e^4 + 1),$$

$$I_y = \iint_D yx^3 \, dx \, dy = \int_0^1 \left[\int_0^{e^x} y \, x^3 \, dy \right] dx = \frac{1}{16} (e^2 + 3);$$

logo, o momento de inércia polar é:

$$I_0 = I_x + I_y = \frac{1}{64} (3e^4 + 4e^2 + 13).$$

[2] Uma lâmina fina com densidade constante k é limitada por $x^2+y^2=a^2$ e $x^2+y^2=b^2$, (0 < a < b). Calcule o momento de inércia polar da lâmina.

Usando coordenadas polares, a nova região é definida por: $a \le r \le b$ e $0 \le \theta \le 2$ π e o momento de inércia polar é:

$$I_0 = k \int_0^{2\pi} \left[\int_a^b r^3 dr \right] d\theta = \frac{k (b^4 - a^4)\pi}{2}.$$

7.5 Exercícios

1. Calcule $\iint_R f(x,y) dx dy$, se:

(a)
$$f(x,y) = x^2 y^3$$
 e $R = [0,1] \times [0,1]$

(b)
$$f(x,y) = (x+y)^2 (x^2 - y^2)$$
 e $R = [0,1] \times [0,1]$

(c)
$$f(x,y) = x^2 + 4y$$
 e $R = [0,2] \times [0,3]$

(d)
$$f(x,y) = \frac{x^2}{y^2+1}$$
 e $R = [-1,1] \times [-1,1]$

(e)
$$f(x,y) = e^{xy} (x^2 + y^2)$$
 e $R = [-1,3] \times [-2,1]$

(f)
$$f(x,y) = xy - y^2$$
 e $R = [0,5] \times [0,4]$

(g)
$$f(x,y) = 5 x y^2$$
 e $R = [1,3] \times [1,4]$

(h)
$$f(x,y) = 2x + c^2 y$$
 e $R = [-2,2] \times [-1,1]$

(i)
$$f(x,y) = x^2 - y^2$$
 e $R = [1,2] \times [-1,1]$.

2. Calcule o volume do sólido limitado superiormente pelo gráfico da função e inferiormente pelo retângulo dado:

(a)
$$z = \sqrt{9 - y^2}$$
 e $R = [0, 4] \times [0, 2]$

(b)
$$z = x^2 + y^2$$
 e $R = [-2, 2] \times [-3, 3]$

(c)
$$z = y^2 - x^2$$
 e $R = [-1, 1] \times [1, 3]$

(d)
$$z = 2x + 3y + 6 e R = [-1, 2] \times [2, 3]$$

(e)
$$z = a \cos(2\theta) + b \sin(2\alpha)$$
 e $R = [0, \frac{\pi}{2}] \times [0, \frac{\pi}{2}]$

(f)
$$z = x \, sen(y) \, e \, R = [0, \pi] \times [0, \pi]$$

3. Calcule as seguintes integrais mudando a ordem de integração:

(a)
$$\int_0^1 \left[\int_y^1 tg(x^2) dx \right] dy$$

(d)
$$\int_0^1 \left[\int_x^1 sen(y^2) dy \right] dx$$

(b)
$$\int_{1}^{2} \left[\int_{1}^{x} \frac{x^{2}}{y^{2}} dy \right] dx$$

(e)
$$\int_{0}^{1} \left[\int_{3y}^{y} e^{x^{2}} dx \right] dy$$

(c)
$$\int_0^1 \left[\int_0^{\sqrt{1-x^2}} \sqrt{1-y^2} \, dy \right] dx$$

(f)
$$\int_0^3 \left[\int_{y^2}^9 y \cos(x^2) \, dx \right] dy$$

4. Calcule as seguintes integrais sabendo que D é limitada pelas curvas dadas:

(a)
$$\iint_D y \, dx \, dy$$
; $y = 2x^2 - 2$, $y = x^2 + x$

(b)
$$\iint_D xy \, dx \, dy; \frac{x^2}{a^2} + \frac{y^2}{b^2} = 1, x, y \ge 0$$

(c)
$$\iint_D x \, dx \, dy; x - y^2 = 0, x = 1$$

(d)
$$\iint_D \frac{dx \, dy}{x^2 + 1}; y - x^2 = 0, y = 1$$

(e)
$$\iint_D (x^2 + y^2) dx dy$$
; $y = 0$, $y = x - 1$ e $x = 1$, $x = 0$

(f)
$$\iint_D e^{x+y} dx dy; y = 0, y = x e x - 1 = 0$$

(g)
$$\iint_D x \cos(y) dx dy; y = 0, y = x^2 e x = 1$$

(h)
$$\iint_D 4y^3 dx dy$$
; $y = x - 6 \text{ e } y^2 = x$

(i)
$$\iint_D (y^2 - x) dx dy; y^2 = x e x = 3 - 2y^2$$

7.5. EXERCÍCIOS 225

(j)
$$\iint_D (x^2 + 2y) dx dy$$
; $y = 2x^2 e y = x^2 + 1$

(k)
$$\iint_D (1+2x) dx dy$$
; $x = y^2 e y + x = 2$

(1)
$$\iint_D dx dy; y^2 = x^3 e y = x$$

5. Determine o volume dos seguintes sólidos:

- (a) Limitado superiormente por $z = x^2 + y^2$ e inferiormente pela região limitada por $y = x^2 e x = y^2$.
- (b) Limitado superiormente por $z = 3x^2 + y^2$ e inferiormente pela região limitada por $y = x e x = y^2 - y$.
- (c) Limitado por $y^2 + z^2 = 4$, x = 2y, x = 0 e z = 0, no primeiro octante.
- (d) Limitado por $z = x^2 + y^2 + 4$, x = 0, y = 0, z = 0 e x + y = 1.
- (e) Limitado por $x^2 + y^2 = 1$, y = z, x = 0 e z = 0, no primeiro octante.
- 6. Calcule a área das regiões limitadas pelas seguintes curvas:

(a)
$$y = x^2$$
, $y = 2x + \frac{5}{4}$ (e) $y^3 = x$, $y = x$

(b)
$$y = -x^2 - 4$$
, $y = -8$ (f) $y = -x^2 - 1$, $y = -2x - 4$

(a)
$$y = x^2$$
, $y = 2x + \frac{5}{4}$
(b) $y = -x^2 - 4$, $y = -8$
(c) $y = 5 - x^2$, $y = x + 3$
(d) $x = y^2$, $y = x + 3$, $y = -2$, $y = 3$
(e) $y^3 = x$, $y = x$
(f) $y = -x^2 - 1$, $y = -2x + 3$
(g) $x = y^2 + 1$, $y + x = 7$
(h) $y = 4 - x^2$, $y = x^2 - 14$

(d)
$$x = y^2$$
, $y = x + 3$, $y = -2$, $y = 3$ (h) $y = 4 - x^2$, $y = x^2 - 14$

- 7. Determine o centro de massa da lâmina plana R, no plano xy e densidade dada f:
 - (a) R é limitado por $x^2 + y^2 = 1$ no primeiro quadrante e f(x, y) = xy
 - (b) R é limitado por y = x e $y = x^2$ e $f(x, y) = x^2 + y^2$
- 8. Definimos o **valor médio** de f sobre a região D por:

$$V_M = \frac{1}{A} \iint_D f(x, y) dx dy,$$

onde A é a área de D. Calcule V_M se:

- (a) $f(x,y) = x^2$, e D do retângulo de vértices (0,0), (4,0), (4,2) e (0,2)
- (b) $f(x,y) = x^2 y^2$ e D do retângulo de vértices (0,0), (4,0), (4,2) e (0,2)
- (c) $f(x,y) = x^2 y^2$ e *D* do triângulo de vértices (0,0), (4,0), e (0,2)
- (d) $f(x,y) = x^2 y^2$ e *D* do triângulo de vértices (-1,0), (1,0), e (0,1)